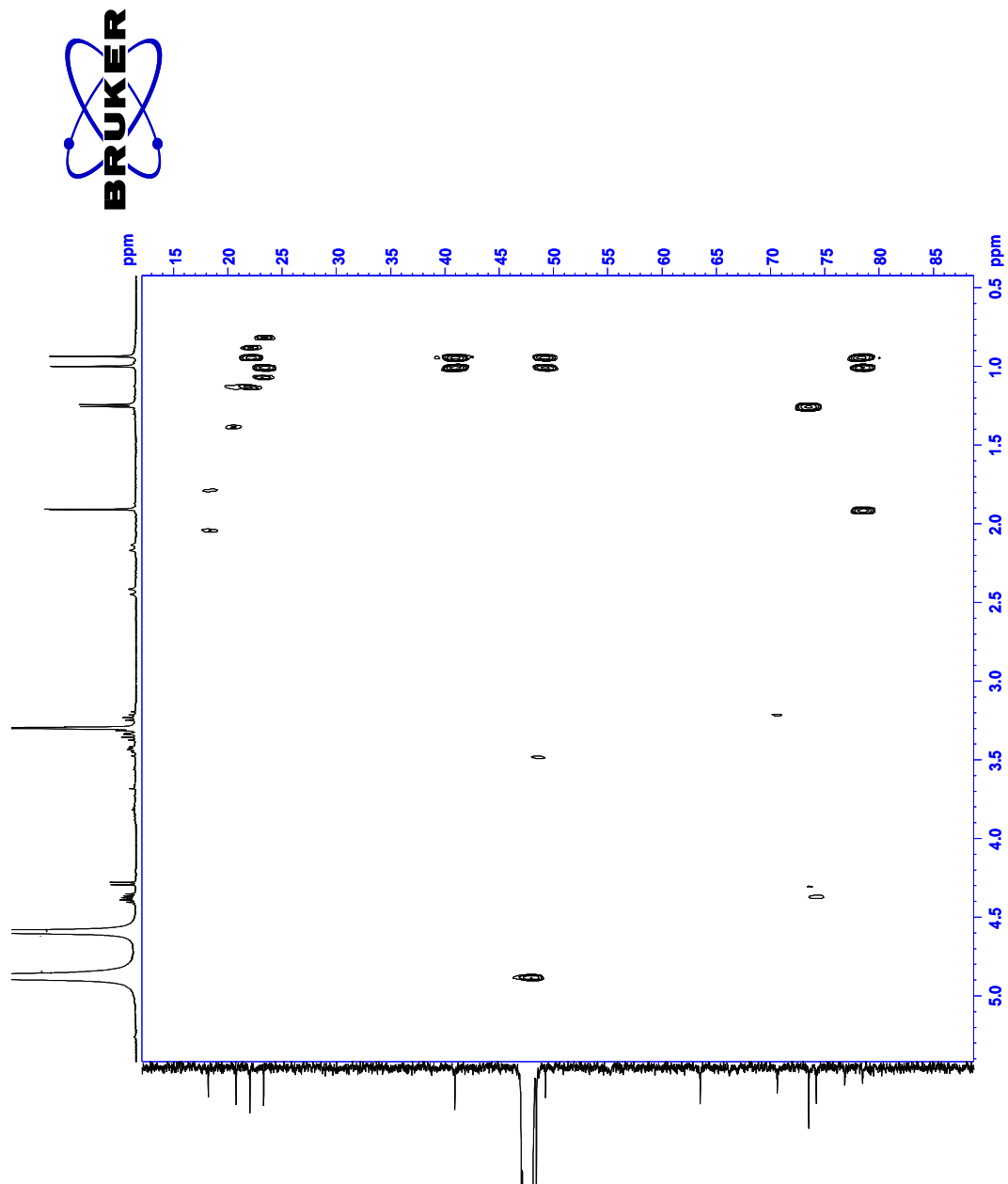
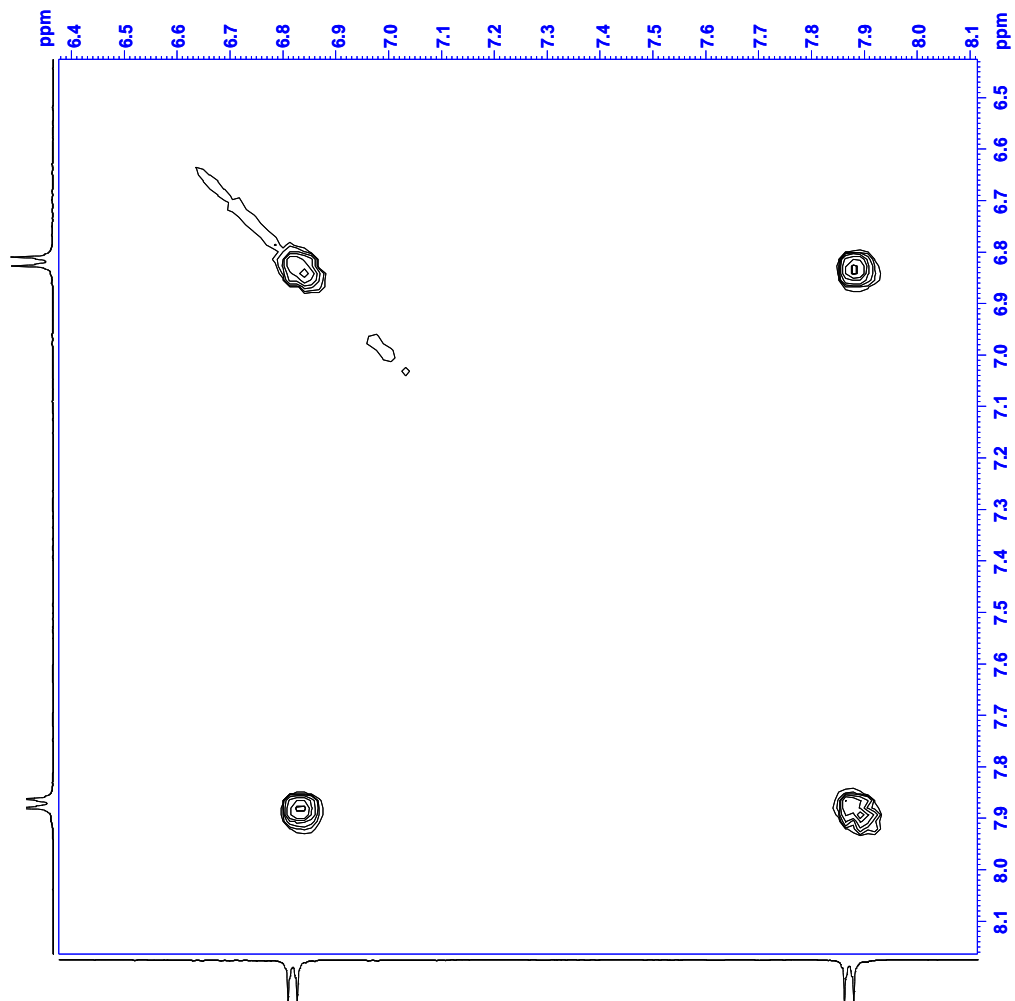


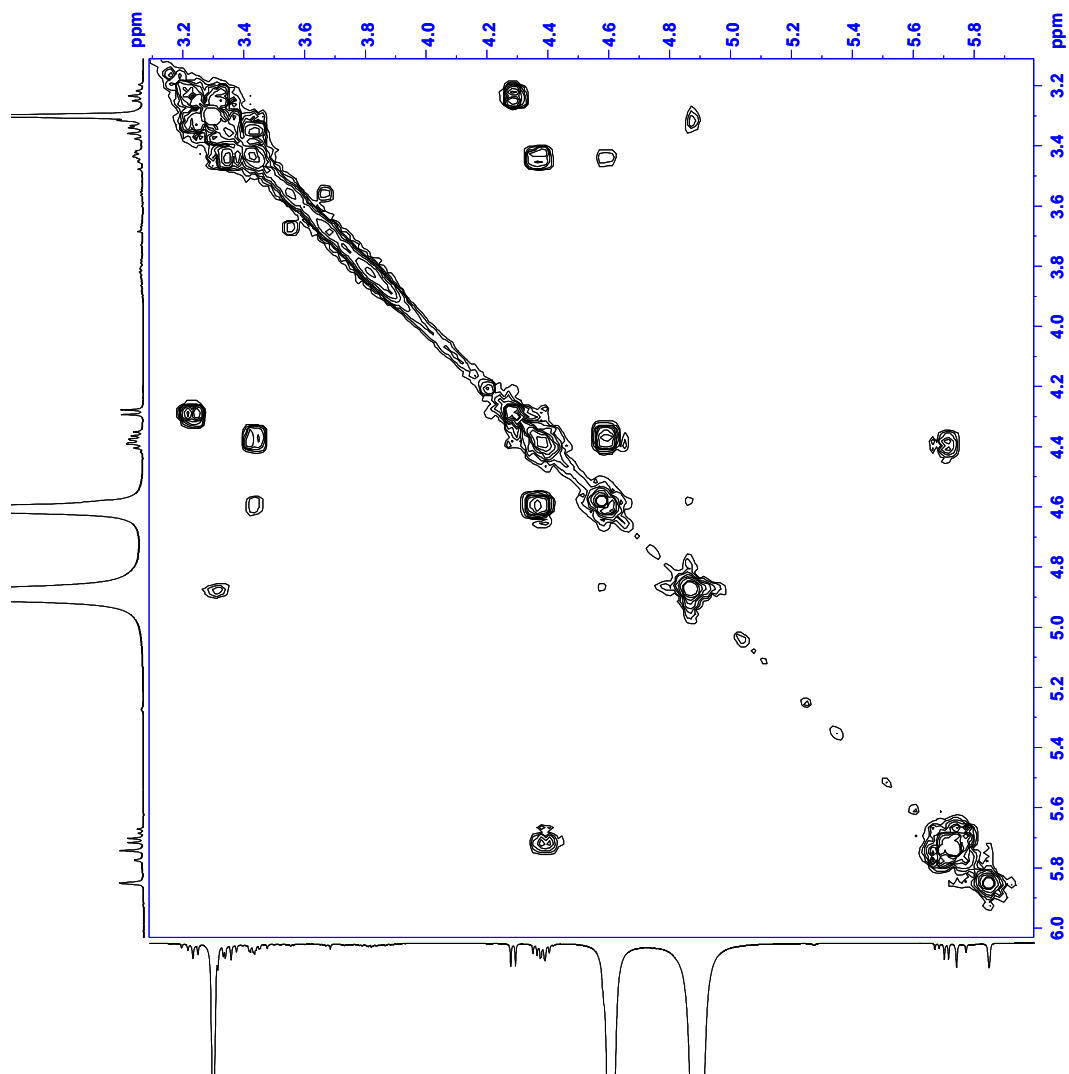
Espectro 29. Ampliación entre 1,0-8,0 ppm del HMBC del compuesto OpD-9 [(6R,9S)-6'-(4''-hidroxibenzoil)-roseósido].



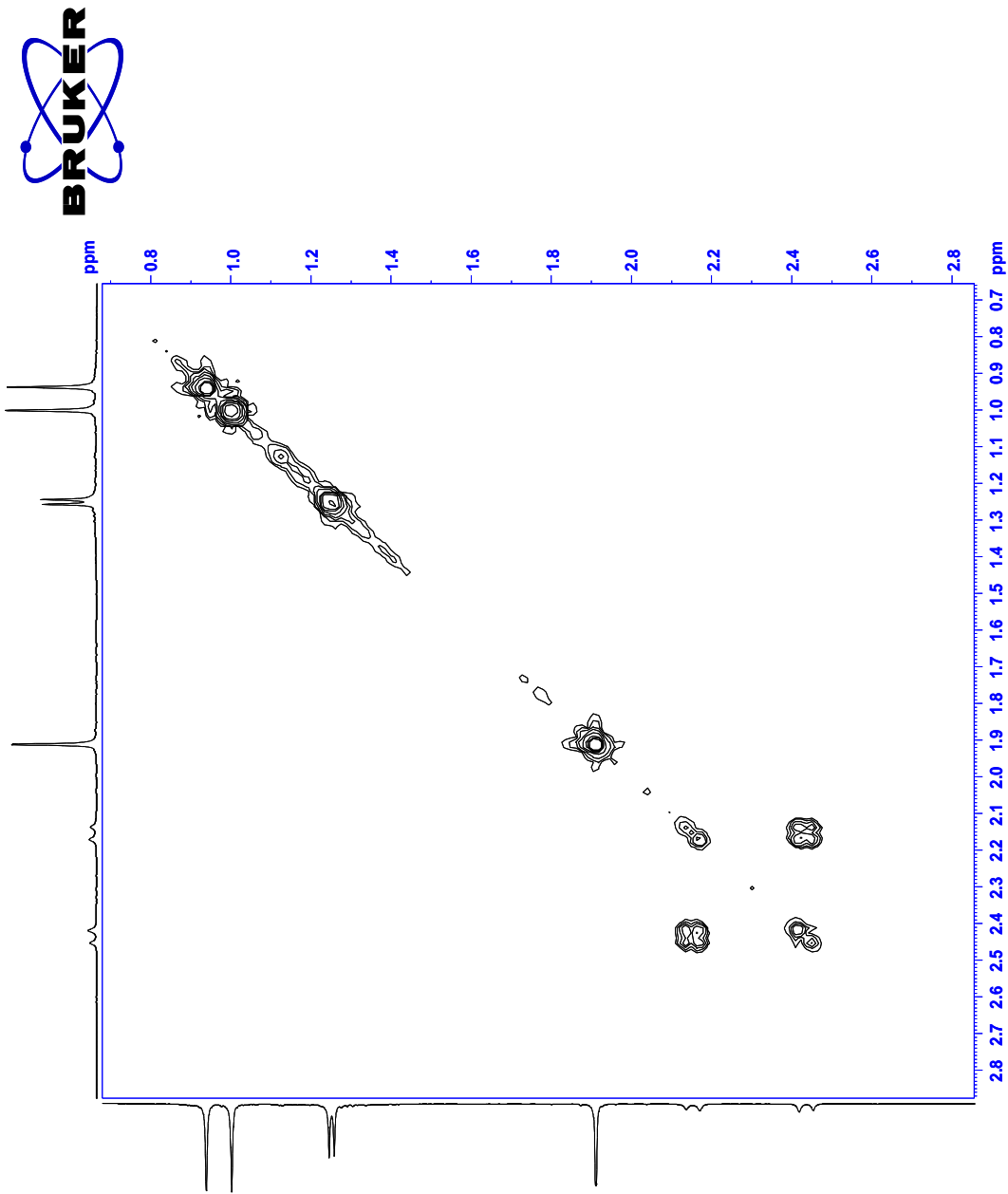
Espectro 30. Ampliación entre 0,5-5,0 ppm del HMBC del compuesto OpD-9 [(6R,9S)-6'-(4''-hidroxibenzoil)-roseósido].



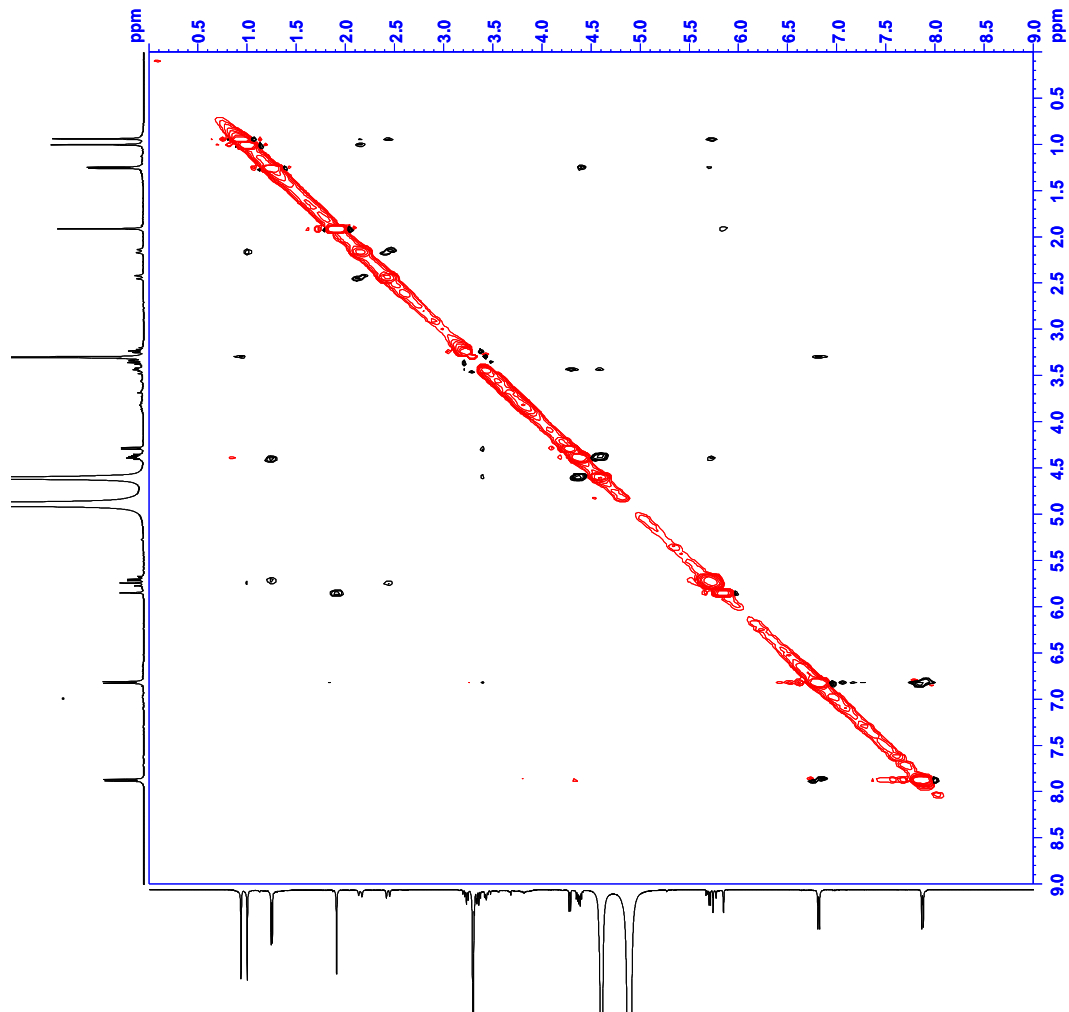
Espectro 32. Ampliación entre 6,5-8,1 ppm en F2 del COSY del compuesto OpD-9 [(6R,9S)-6'-(4''-hidroxibenzoil)-roseósido].



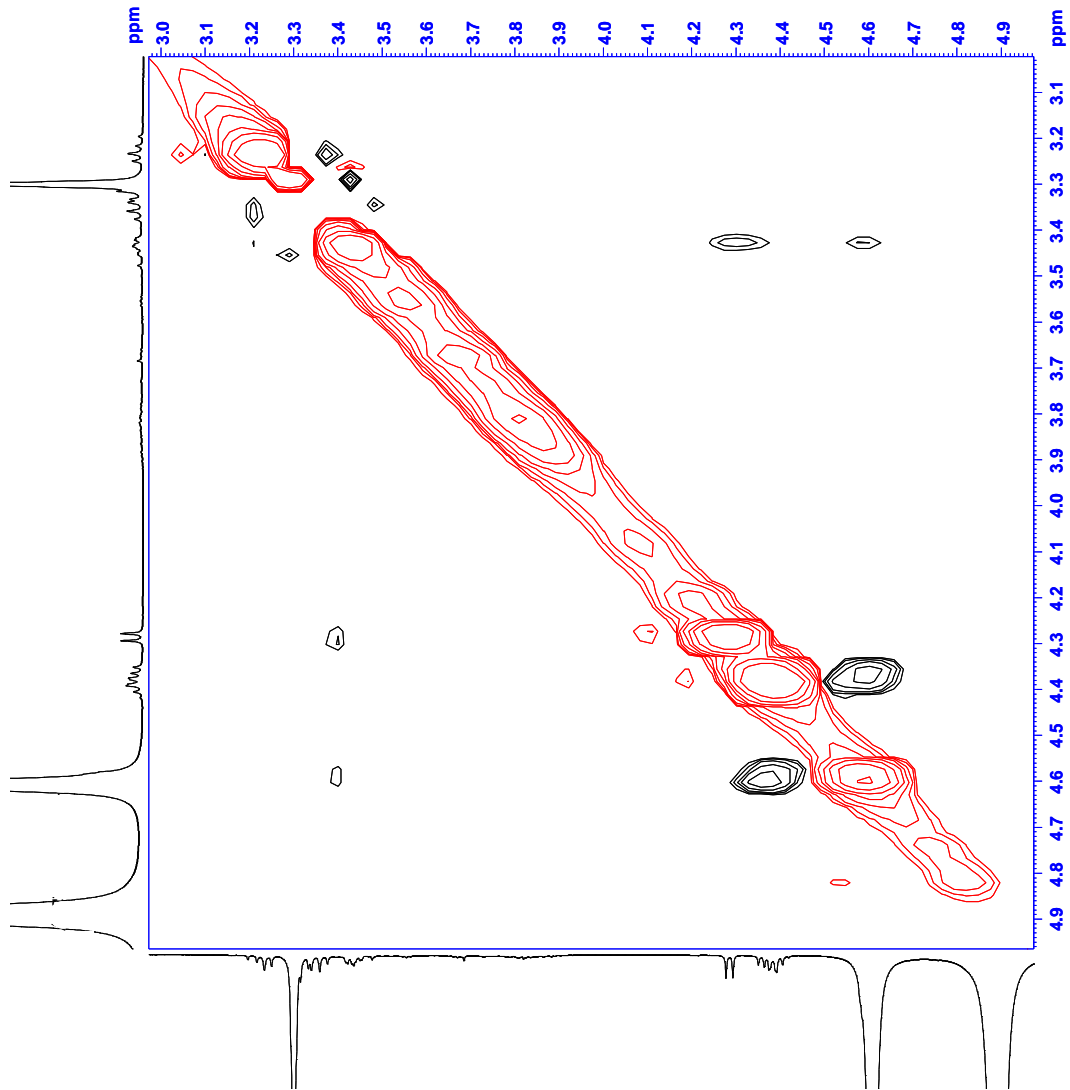
Espectro 33. Ampliación entre 3,2-6,0 ppm en F2 del COSY del compuesto OpD-9 [(6R,9S)-6'-(4''-hidroxibenzoil)-roseósido].



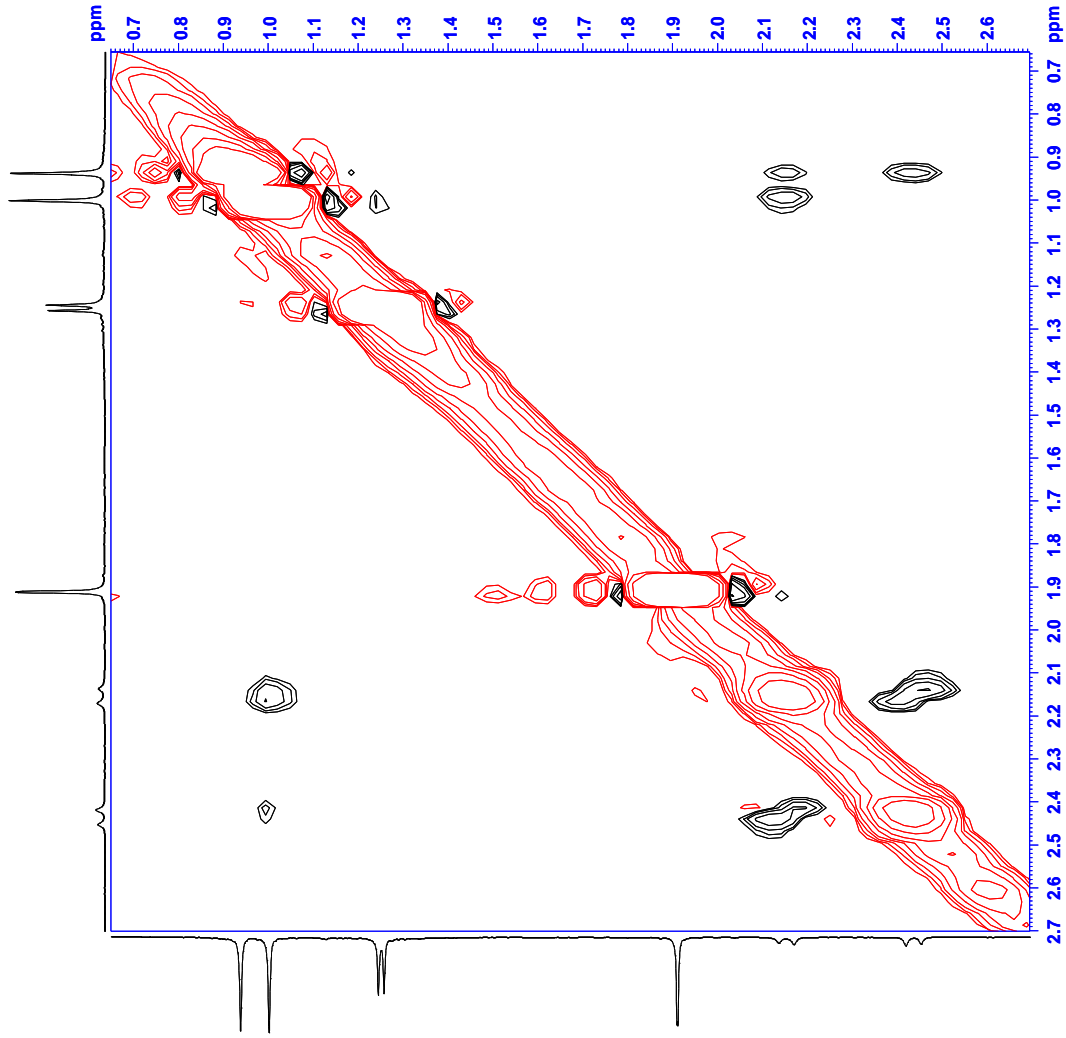
Espectro 34. Ampliación entre 0,7-2,8 ppm en F2 del COSY del compuesto OpD-9 (6'-(4''-hidroxibenzoil)-roseósido)



Espectro 35. NOESY del compuesto OpD-9 [(6R,9S)-6'-(4"-hidroxibenzoil)-roseósido].

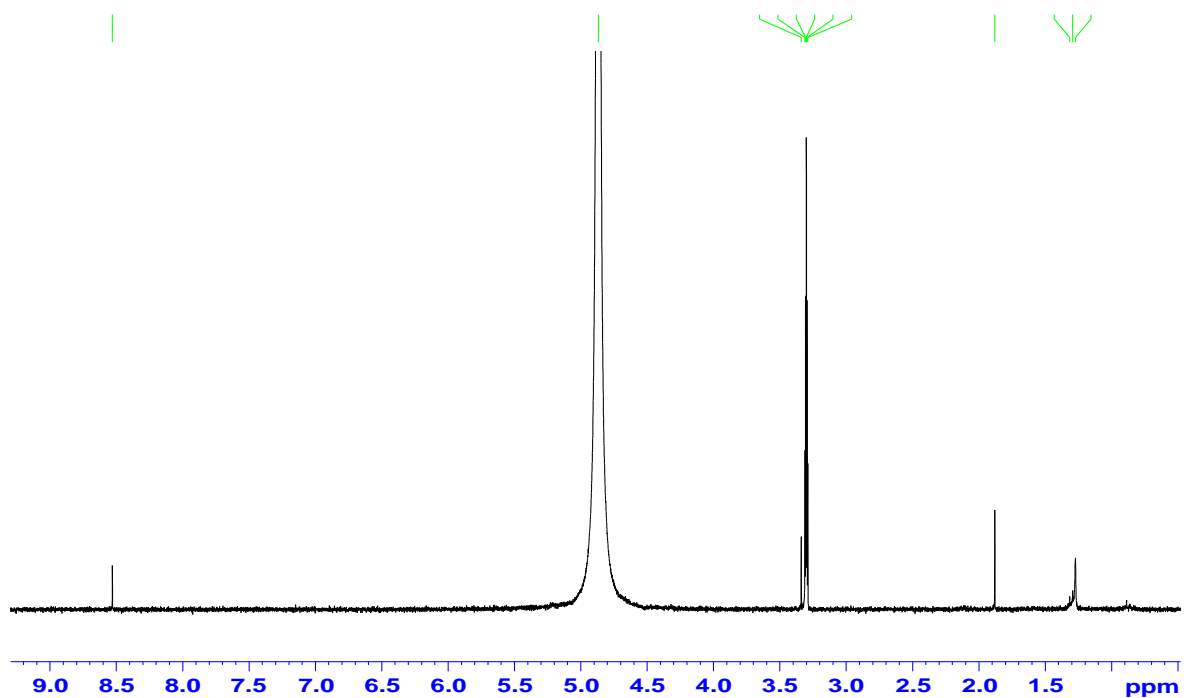


Espectro 36. Ampliación entre 3,1-4,9 ppm en F2 del NOESY del compuesto OpD-9 [(6R,9S)-6'-(4''-hidroxibenzoil)-roseósido].



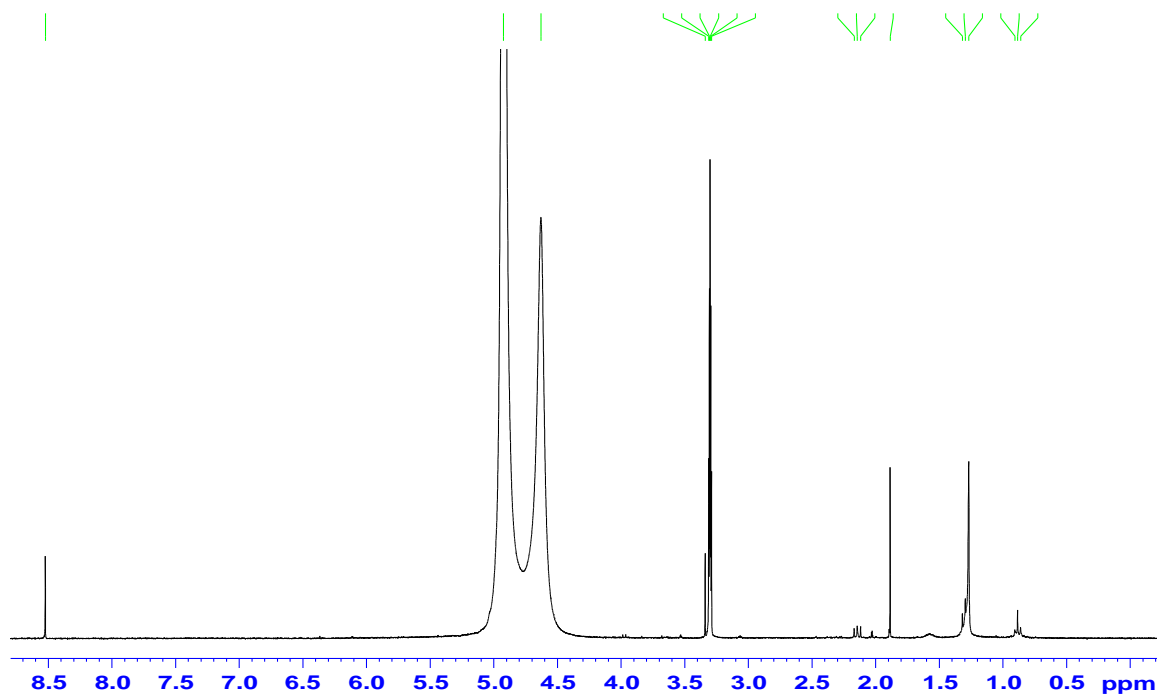
Espectro 37. Ampliación entre 0,7-2,7 ppm en F2 del NOESY del compuesto OpD-9 [(6R,9S)-6'-(4''-hidroxibenzoil)-roseósido].

Maria Rodriguez / Jairo Bermudez / UCVMRJB-CFRSHiNaOH1
MeOD / Protones.



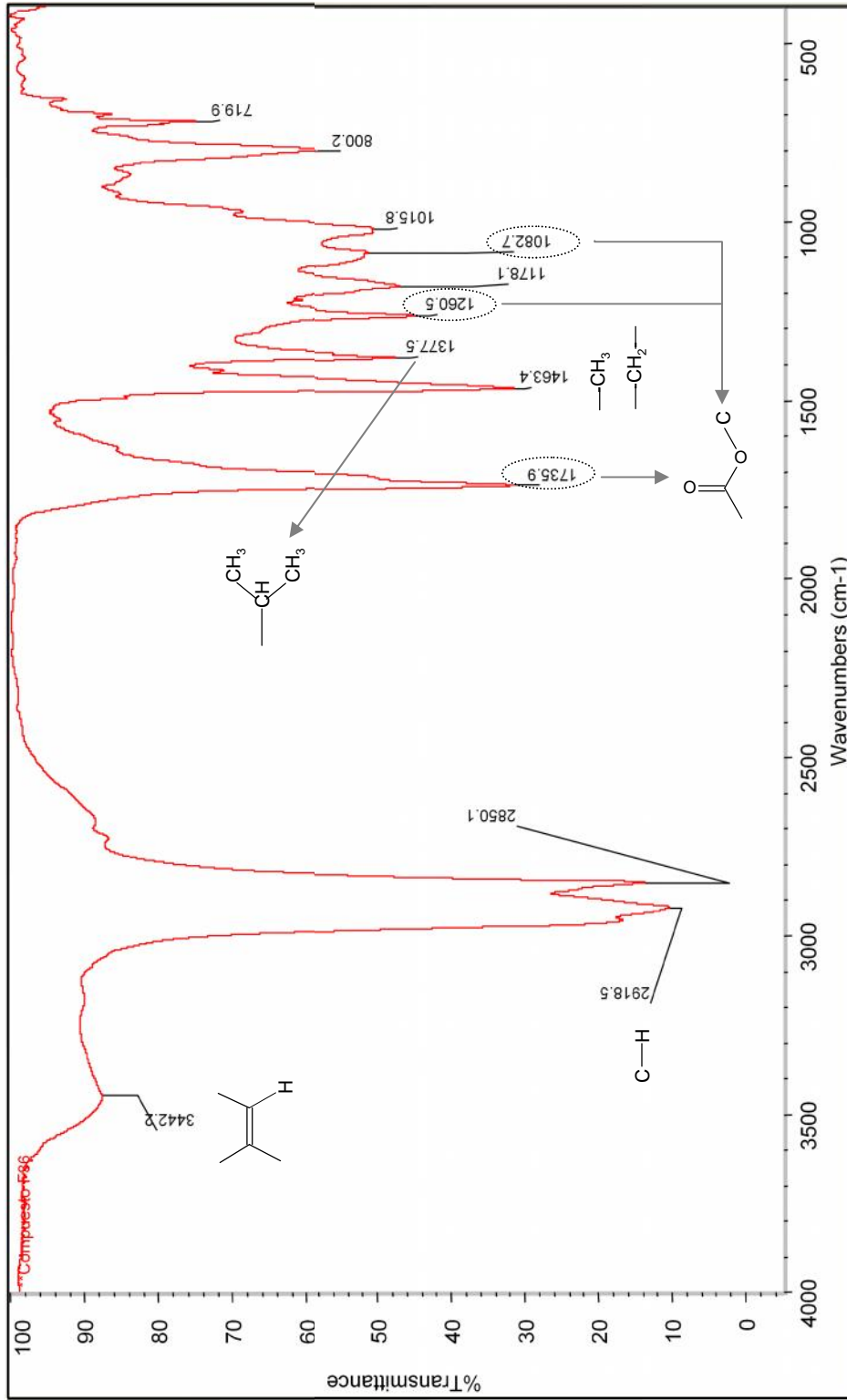
Espectro 38. Espectro de RMN-¹H del compuesto CfRS-1

Maria Rodriguez / Jairo Bermudez / UCVMRJB-CFRSHiNaOH2
MeOD / Protones.



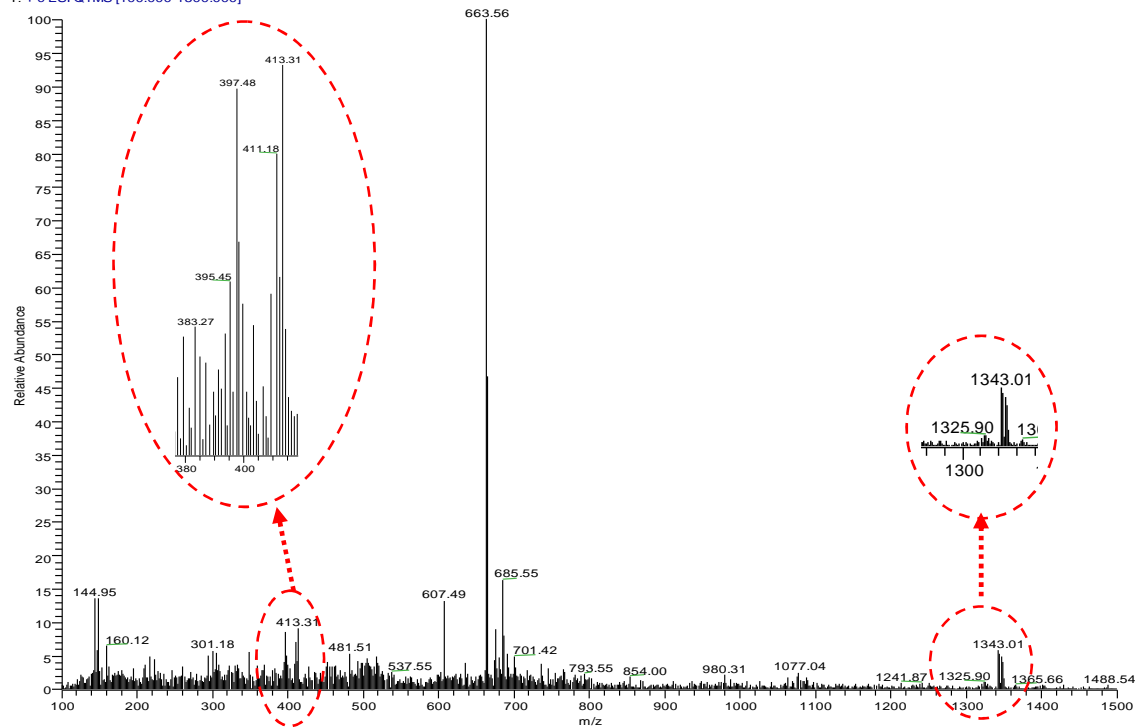
Espectro 39. Espectro de RMN-¹H del compuesto CfRS-2

Espectro 40. Espectro de RMN-¹³C del compuesto CfRS-1



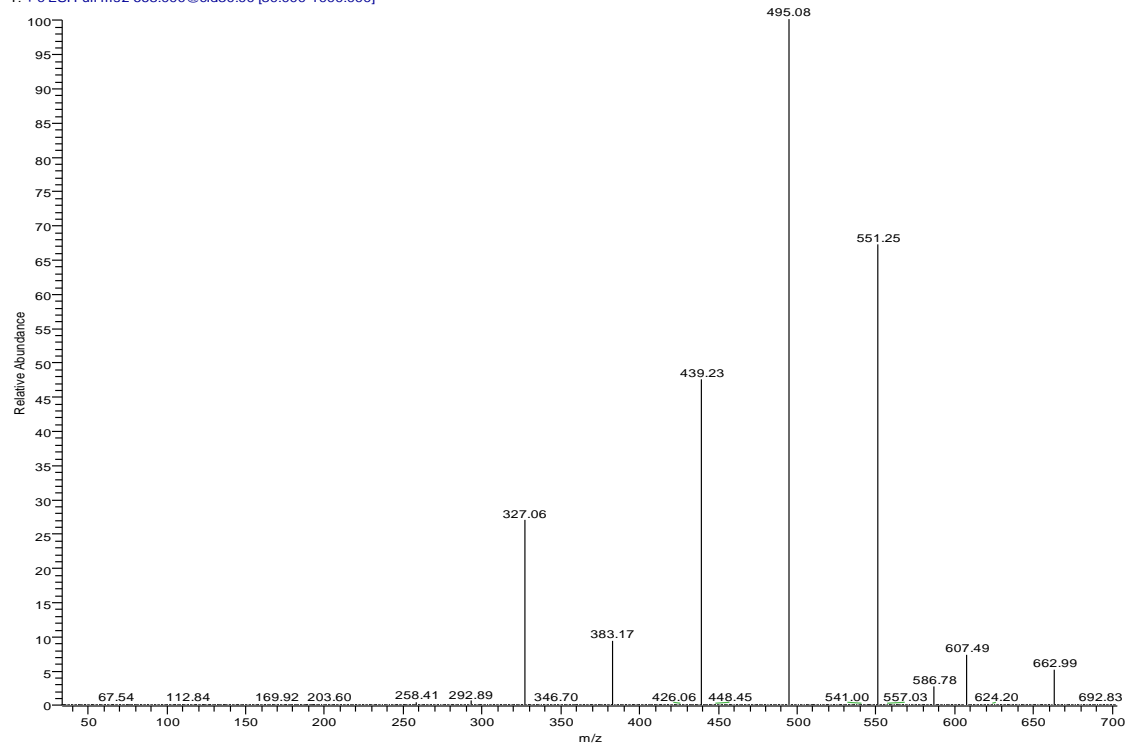
Espectro 41 IR del compuesto Cfr-3 (β -sitosterol palmitato $\cdot \frac{1}{2} \cdot \text{H}_2\text{O}$),

Rene1 #76 RT: 41.50 AV: 1 NL: 2.31E6
T: + c ESI Q1MS [100.000-1500.000]



Espectro 42. EM del compuesto CfR-3 (β -sitosterol palmitato $\cdot\frac{1}{2}\cdot\text{H}_2\text{O}$).

Rene1 #65 RT: 41.34 AV: 1 NL: 2.19E5
T: + c ESI Full ms2 663.000@cid30.00 [30.000-1000.000]

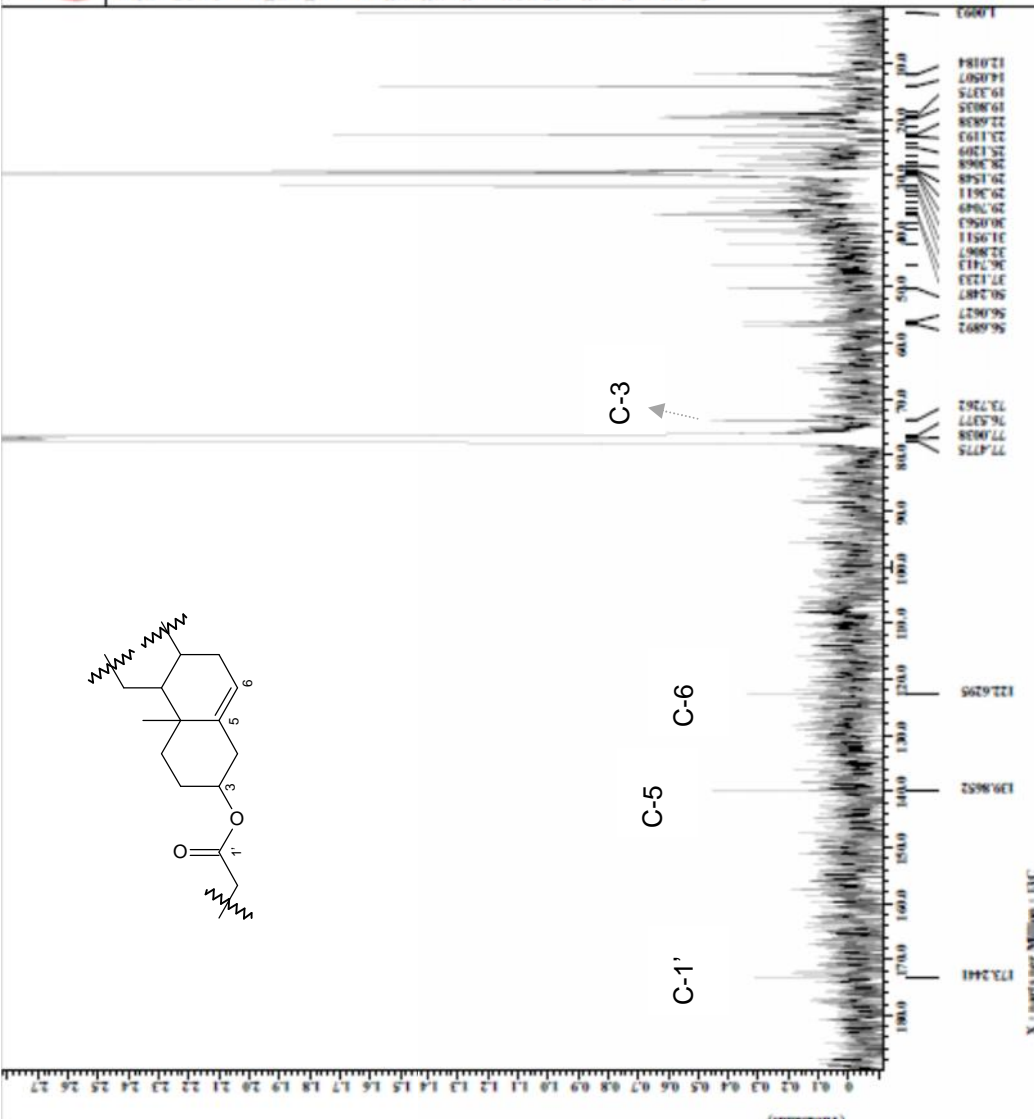


Espectro 43. EM-EM del i3n 663 u.m.a. del compuesto CfR-3 (β -sitosterol palmitato $\cdot\frac{1}{2}\cdot\text{H}_2\text{O}$).


```

* Jcharris@MCHofms01234-
File Name
Author
Experiment
Sample ID
Date Acq
Creation Time
Revision Time
Current Time
Cocycle
Data Format
Dir. Name
Dir. Title
Dir. Units
Dimensions
File
Spectrometer
Field Strength
X_Acq Duration
X_Freq
X_P1
X_P2
X_P3
X_P4
X_P5
X_P6
X_P7
X_P8
X_P9
X_P10
X_P11
X_P12
X_P13
X_P14
X_P15
X_P16
X_P17
X_P18
X_P19
X_P20
X_P21
X_P22
X_P23
X_P24
X_P25
X_P26
X_P27
X_P28
X_P29
X_P30
X_P31
X_P32
X_P33
X_P34
X_P35
X_P36
X_P37
X_P38
X_P39
X_P40
X_P41
X_P42
X_P43
X_P44
X_P45
X_P46
X_P47
X_P48
X_P49
X_P50
X_P51
X_P52
X_P53
X_P54
X_P55
X_P56
X_P57
X_P58
X_P59
X_P60
X_P61
X_P62
X_P63
X_P64
X_P65
X_P66
X_P67
X_P68
X_P69
X_P70
X_P71
X_P72
X_P73
X_P74
X_P75
X_P76
X_P77
X_P78
X_P79
X_P80
X_P81
X_P82
X_P83
X_P84
X_P85
X_P86
X_P87
X_P88
X_P89
X_P90
X_P91
X_P92
X_P93
X_P94
X_P95
X_P96
X_P97
X_P98
X_P99
X_P100
X_P101
X_P102
X_P103
X_P104
X_P105
X_P106
X_P107
X_P108
X_P109
X_P110
X_P111
X_P112
X_P113
X_P114
X_P115
X_P116
X_P117
X_P118
X_P119
X_P120
X_P121
X_P122
X_P123
X_P124
X_P125
X_P126
X_P127
X_P128
X_P129
X_P130
X_P131
X_P132
X_P133
X_P134
X_P135
X_P136
X_P137
X_P138
X_P139
X_P140
X_P141
X_P142
X_P143
X_P144
X_P145
X_P146
X_P147
X_P148
X_P149
X_P150
X_P151
X_P152
X_P153
X_P154
X_P155
X_P156
X_P157
X_P158
X_P159
X_P160
X_P161
X_P162
X_P163
X_P164
X_P165
X_P166
X_P167
X_P168
X_P169
X_P170
X_P171
X_P172
X_P173
X_P174
X_P175
X_P176
X_P177
X_P178
X_P179
X_P180
X_P181
X_P182
X_P183
X_P184
X_P185
X_P186
X_P187
X_P188
X_P189
X_P190
X_P191
X_P192
X_P193
X_P194
X_P195
X_P196
X_P197
X_P198
X_P199
X_P200
X_P201
X_P202
X_P203
X_P204
X_P205
X_P206
X_P207
X_P208
X_P209
X_P210
X_P211
X_P212
X_P213
X_P214
X_P215
X_P216
X_P217
X_P218
X_P219
X_P220
X_P221
X_P222
X_P223
X_P224
X_P225
X_P226
X_P227
X_P228
X_P229
X_P230
X_P231
X_P232
X_P233
X_P234
X_P235
X_P236
X_P237
X_P238
X_P239
X_P240
X_P241
X_P242
X_P243
X_P244
X_P245
X_P246
X_P247
X_P248
X_P249
X_P250
X_P251
X_P252
X_P253
X_P254
X_P255
X_P256
X_P257
X_P258
X_P259
X_P260
X_P261
X_P262
X_P263
X_P264
X_P265
X_P266
X_P267
X_P268
X_P269
X_P270
X_P271
X_P272
X_P273
X_P274
X_P275
X_P276
X_P277
X_P278
X_P279
X_P280
X_P281
X_P282
X_P283
X_P284
X_P285
X_P286
X_P287
X_P288
X_P289
X_P290
X_P291
X_P292
X_P293
X_P294
X_P295
X_P296
X_P297
X_P298
X_P299
X_P300
X_P301
X_P302
X_P303
X_P304
X_P305
X_P306
X_P307
X_P308
X_P309
X_P310
X_P311
X_P312
X_P313
X_P314
X_P315
X_P316
X_P317
X_P318
X_P319
X_P320
X_P321
X_P322
X_P323
X_P324
X_P325
X_P326
X_P327
X_P328
X_P329
X_P330
X_P331
X_P332
X_P333
X_P334
X_P335
X_P336
X_P337
X_P338
X_P339
X_P340
X_P341
X_P342
X_P343
X_P344
X_P345
X_P346
X_P347
X_P348
X_P349
X_P350
X_P351
X_P352
X_P353
X_P354
X_P355
X_P356
X_P357
X_P358
X_P359
X_P360
X_P361
X_P362
X_P363
X_P364
X_P365
X_P366
X_P367
X_P368
X_P369
X_P370
X_P371
X_P372
X_P373
X_P374
X_P375
X_P376
X_P377
X_P378
X_P379
X_P380
X_P381
X_P382
X_P383
X_P384
X_P385
X_P386
X_P387
X_P388
X_P389
X_P390
X_P391
X_P392
X_P393
X_P394
X_P395
X_P396
X_P397
X_P398
X_P399
X_P400
X_P401
X_P402
X_P403
X_P404
X_P405
X_P406
X_P407
X_P408
X_P409
X_P410
X_P411
X_P412
X_P413
X_P414
X_P415
X_P416
X_P417
X_P418
X_P419
X_P420
X_P421
X_P422
X_P423
X_P424
X_P425
X_P426
X_P427
X_P428
X_P429
X_P430
X_P431
X_P432
X_P433
X_P434
X_P435
X_P436
X_P437
X_P438
X_P439
X_P440
X_P441
X_P442
X_P443
X_P444
X_P445
X_P446
X_P447
X_P448
X_P449
X_P450
X_P451
X_P452
X_P453
X_P454
X_P455
X_P456
X_P457
X_P458
X_P459
X_P460
X_P461
X_P462
X_P463
X_P464
X_P465
X_P466
X_P467
X_P468
X_P469
X_P470
X_P471
X_P472
X_P473
X_P474
X_P475
X_P476
X_P477
X_P478
X_P479
X_P480
X_P481
X_P482
X_P483
X_P484
X_P485
X_P486
X_P487
X_P488
X_P489
X_P490
X_P491
X_P492
X_P493
X_P494
X_P495
X_P496
X_P497
X_P498
X_P499
X_P500
X_P501
X_P502
X_P503
X_P504
X_P505
X_P506
X_P507
X_P508
X_P509
X_P510
X_P511
X_P512
X_P513
X_P514
X_P515
X_P516
X_P517
X_P518
X_P519
X_P520
X_P521
X_P522
X_P523
X_P524
X_P525
X_P526
X_P527
X_P528
X_P529
X_P530
X_P531
X_P532
X_P533
X_P534
X_P535
X_P536
X_P537
X_P538
X_P539
X_P540
X_P541
X_P542
X_P543
X_P544
X_P545
X_P546
X_P547
X_P548
X_P549
X_P550
X_P551
X_P552
X_P553
X_P554
X_P555
X_P556
X_P557
X_P558
X_P559
X_P560
X_P561
X_P562
X_P563
X_P564
X_P565
X_P566
X_P567
X_P568
X_P569
X_P570
X_P571
X_P572
X_P573
X_P574
X_P575
X_P576
X_P577
X_P578
X_P579
X_P580
X_P581
X_P582
X_P583
X_P584
X_P585
X_P586
X_P587
X_P588
X_P589
X_P590
X_P591
X_P592
X_P593
X_P594
X_P595
X_P596
X_P597
X_P598
X_P599
X_P600
X_P601
X_P602
X_P603
X_P604
X_P605
X_P606
X_P607
X_P608
X_P609
X_P610
X_P611
X_P612
X_P613
X_P614
X_P615
X_P616
X_P617
X_P618
X_P619
X_P620
X_P621
X_P622
X_P623
X_P624
X_P625
X_P626
X_P627
X_P628
X_P629
X_P630
X_P631
X_P632
X_P633
X_P634
X_P635
X_P636
X_P637
X_P638
X_P639
X_P640
X_P641
X_P642
X_P643
X_P644
X_P645
X_P646
X_P647
X_P648
X_P649
X_P650
X_P651
X_P652
X_P653
X_P654
X_P655
X_P656
X_P657
X_P658
X_P659
X_P660
X_P661
X_P662
X_P663
X_P664
X_P665
X_P666
X_P667
X_P668
X_P669
X_P670
X_P671
X_P672
X_P673
X_P674
X_P675
X_P676
X_P677
X_P678
X_P679
X_P680
X_P681
X_P682
X_P683
X_P684
X_P685
X_P686
X_P687
X_P688
X_P689
X_P690
X_P691
X_P692
X_P693
X_P694
X_P695
X_P696
X_P697
X_P698
X_P699
X_P700
X_P701
X_P702
X_P703
X_P704
X_P705
X_P706
X_P707
X_P708
X_P709
X_P710
X_P711
X_P712
X_P713
X_P714
X_P715
X_P716
X_P717
X_P718
X_P719
X_P720
X_P721
X_P722
X_P723
X_P724
X_P725
X_P726
X_P727
X_P728
X_P729
X_P730
X_P731
X_P732
X_P733
X_P734
X_P735
X_P736
X_P737
X_P738
X_P739
X_P740
X_P741
X_P742
X_P743
X_P744
X_P745
X_P746
X_P747
X_P748
X_P749
X_P750
X_P751
X_P752
X_P753
X_P754
X_P755
X_P756
X_P757
X_P758
X_P759
X_P760
X_P761
X_P762
X_P763
X_P764
X_P765
X_P766
X_P767
X_P768
X_P769
X_P770
X_P771
X_P772
X_P773
X_P774
X_P775
X_P776
X_P777
X_P778
X_P779
X_P780
X_P781
X_P782
X_P783
X_P784
X_P785
X_P786
X_P787
X_P788
X_P789
X_P790
X_P791
X_P792
X_P793
X_P794
X_P795
X_P796
X_P797
X_P798
X_P799
X_P800
X_P801
X_P802
X_P803
X_P804
X_P805
X_P806
X_P807
X_P808
X_P809
X_P810
X_P811
X_P812
X_P813
X_P814
X_P815
X_P816
X_P817
X_P818
X_P819
X_P820
X_P821
X_P822
X_P823
X_P824
X_P825
X_P826
X_P827
X_P828
X_P829
X_P830
X_P831
X_P832
X_P833
X_P834
X_P835
X_P836
X_P837
X_P838
X_P839
X_P840
X_P841
X_P842
X_P843
X_P844
X_P845
X_P846
X_P847
X_P848
X_P849
X_P850
X_P851
X_P852
X_P853
X_P854
X_P855
X_P856
X_P857
X_P858
X_P859
X_P860
X_P861
X_P862
X_P863
X_P864
X_P865
X_P866
X_P867
X_P868
X_P869
X_P870
X_P871
X_P872
X_P873
X_P874
X_P875
X_P876
X_P877
X_P878
X_P879
X_P880
X_P881
X_P882
X_P883
X_P884
X_P885
X_P886
X_P887
X_P888
X_P889
X_P890
X_P891
X_P892
X_P893
X_P894
X_P895
X_P896
X_P897
X_P898
X_P899
X_P900
X_P901
X_P902
X_P903
X_P904
X_P905
X_P906
X_P907
X_P908
X_P909
X_P910
X_P911
X_P912
X_P913
X_P914
X_P915
X_P916
X_P917
X_P918
X_P919
X_P920
X_P921
X_P922
X_P923
X_P924
X_P925
X_P926
X_P927
X_P928
X_P929
X_P930
X_P931
X_P932
X_P933
X_P934
X_P935
X_P936
X_P937
X_P938
X_P939
X_P940
X_P941
X_P942
X_P943
X_P944
X_P945
X_P946
X_P947
X_P948
X_P949
X_P950
X_P951
X_P952
X_P953
X_P954
X_P955
X_P956
X_P957
X_P958
X_P959
X_P960
X_P961
X_P962
X_P963
X_P964
X_P965
X_P966
X_P967
X_P968
X_P969
X_P970
X_P971
X_P972
X_P973
X_P974
X_P975
X_P976
X_P977
X_P978
X_P979
X_P980
X_P981
X_P982
X_P983
X_P984
X_P985
X_P986
X_P987
X_P988
X_P989
X_P990
X_P991
X_P992
X_P993
X_P994
X_P995
X_P996
X_P997
X_P998
X_P999
X_P1000

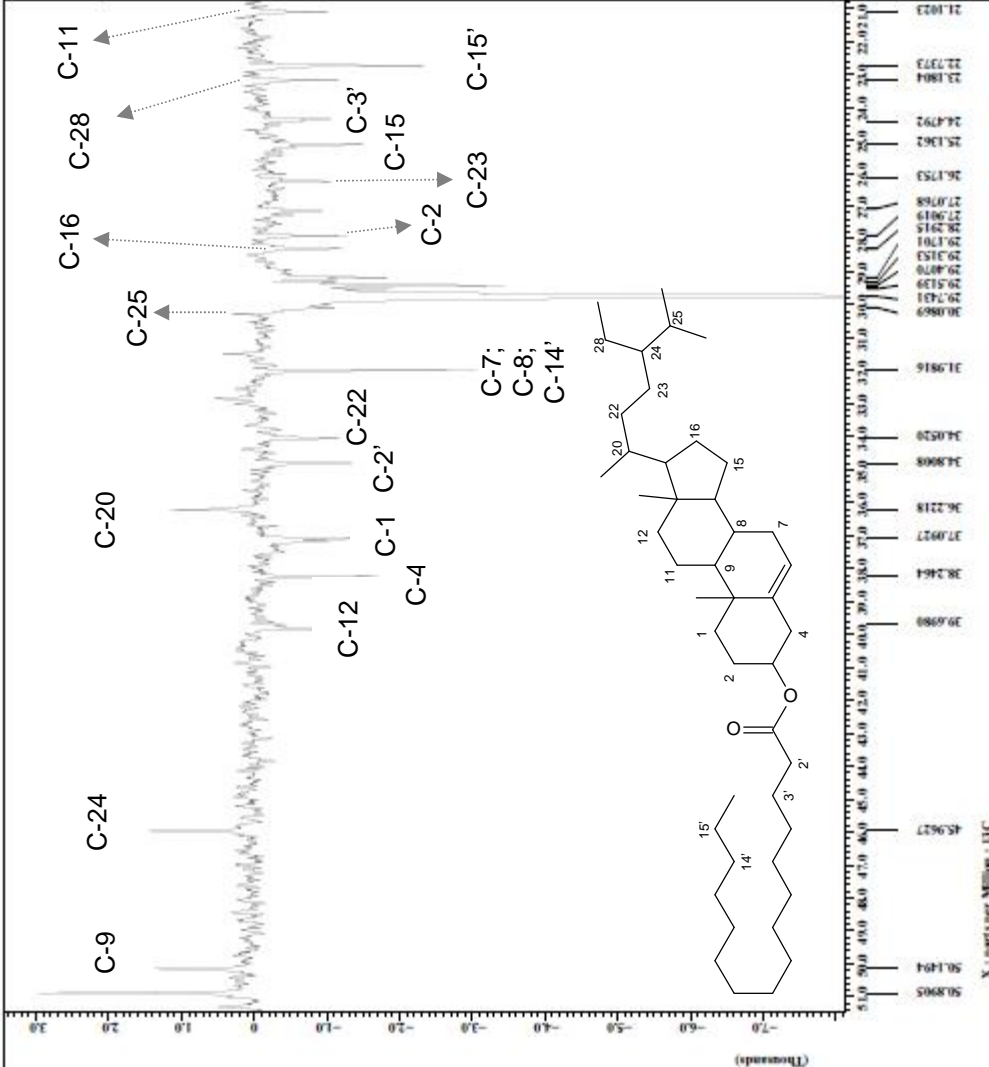
```



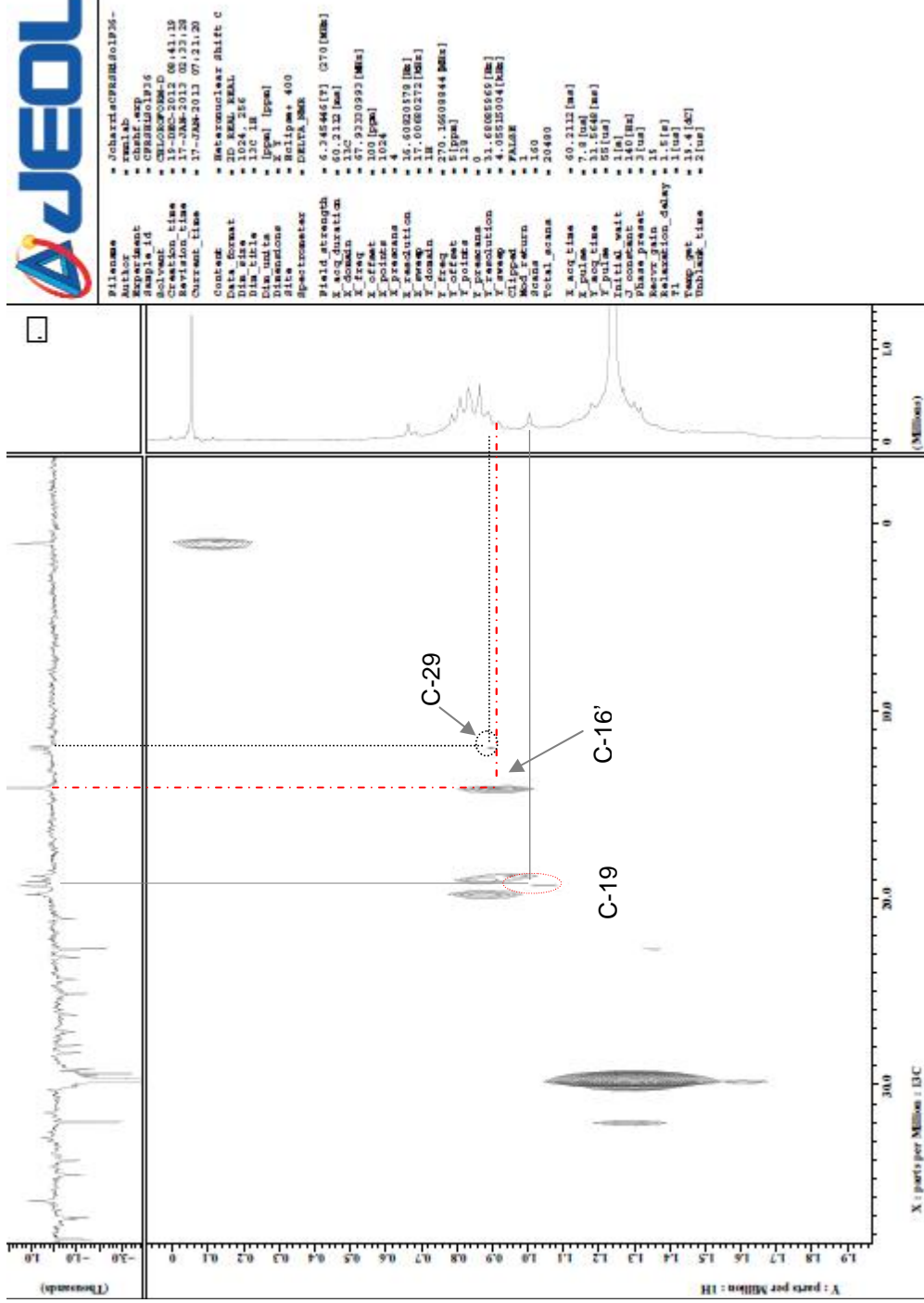
Espectro 47. RMN-¹³C del compuesto CfRS-3 (β -sitosterol palmitato $\cdot \frac{1}{2} \text{H}_2\text{O}$).


```

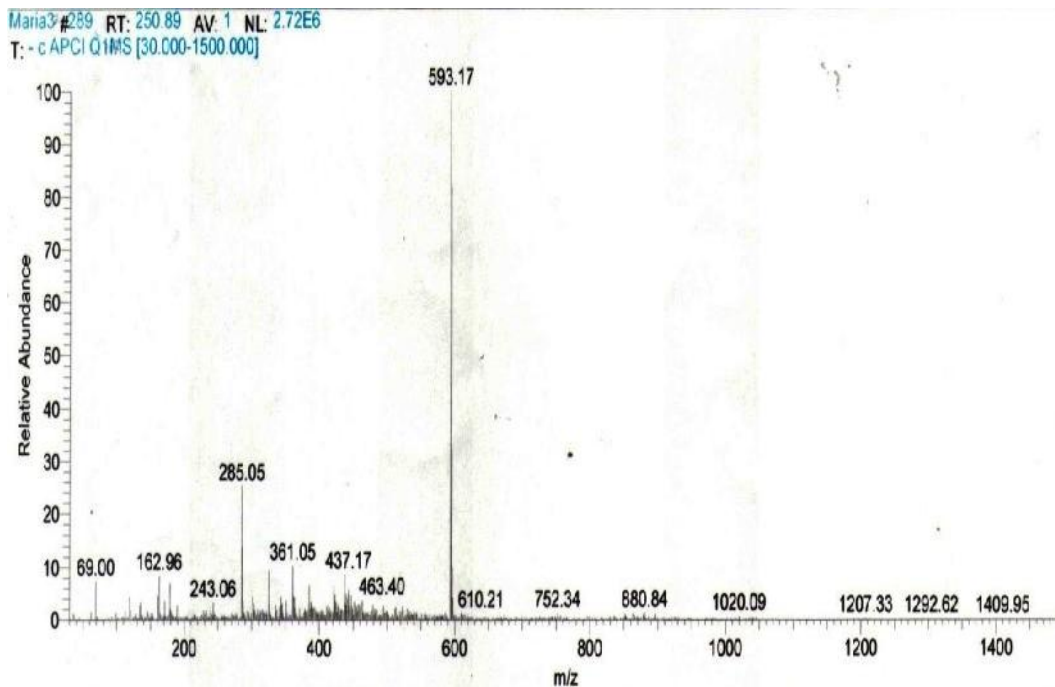
* JcharisCFRS3135-4e
* swlab
* Sept. 04. exp
* 16-007-2012 16:47:11
* CML00000000-D
* 16-007-2012 16:47:11
* 14-NOV-2012 14:05:42
* 14-NOV-2012 14:07:10
* DBP with decoupling
* ID COMPLETE
* 12760
* 13C
* 100
* Relipme+ 400
* DELTA_NMR
Spectrometer
Data format
Data file
Data file
Data file
Dimensions
Type
Relipme+ 400
DELTA_NMR
Field strength
6.345446171 (270 [MHz])
1.9267594 (a)
X_solved
13C
X_freq
87.92320992 [MHz]
X_pulse
3276 [us]
X_pulse
3276 [us]
X_programs
4
X_resolution
0.81800643 [Hz]
X_resolution
1.00680272 [MHz]
X_resolution
1.00680272 [MHz]
Irr_freq
270.36608844 [MHz]
Irr_offset
5 [ppm]
PULPROG
MODPROG
5000
Total_scans
5000
X_acq_time
1.8267664 [s]
X_resolution
0.81800643 [Hz]
X_resolution
1.00680272 [MHz]
X_resolution
1.00680272 [MHz]
Initial_wait
1 [s]
J_coupling
140 [Hz]
Phase_preset
2 [us]
Relaxation_delay
2 [s]
Selection_angle
135 [deg]
Selection_pulse
92.5 [um]
recycle
24.5 [s]
* 2 [us]
* 2 [us]
  
```



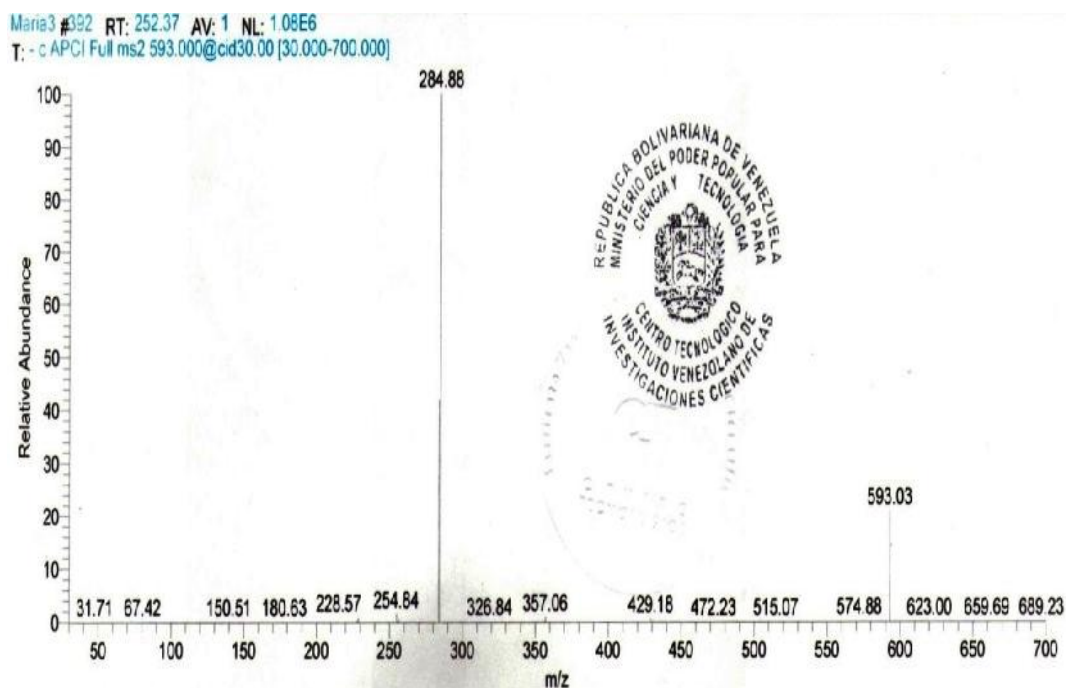
Espectro 49. Ampliación entre 21 y 51 ppm del espectro DEPT-135 del compuesto CfrS-3 (β -sitosterol palmitato $\cdot \frac{1}{2} \cdot \text{H}_2\text{O}$).



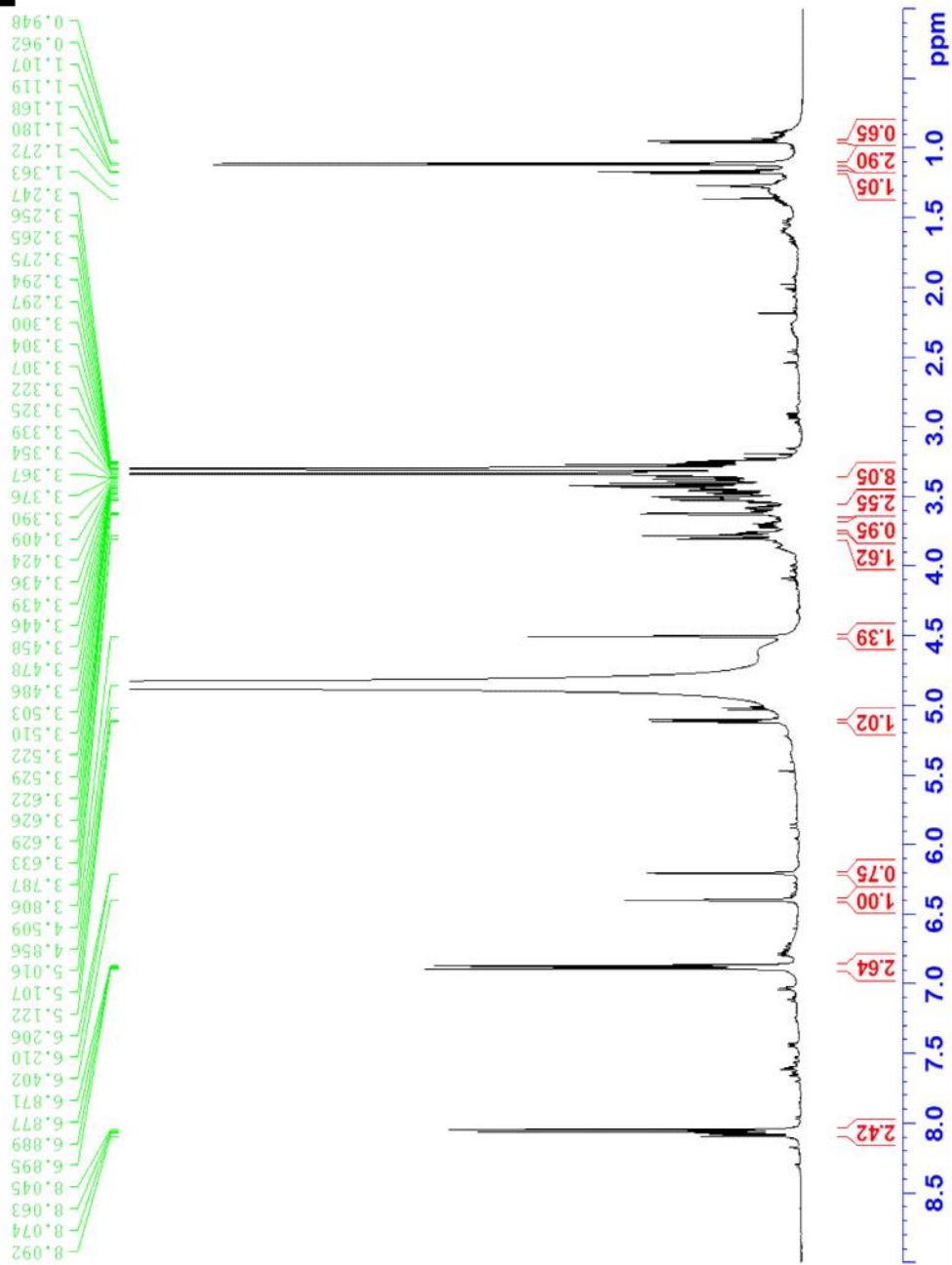
Espectro 51. Correlación Heteronuclear (HetCor) del compuesto CFRS-3 (β -sitosterol palmitato $\cdot\frac{1}{2}\cdot\text{H}_2\text{O}$).



Espectro 52. EM del compuesto CfH-1 (Kaempferol-3-O-rutinósido).



Espectro 53. EM-EM del ión uma del compuesto CfH-1 (Kaempferol-3-O-rutinósido).



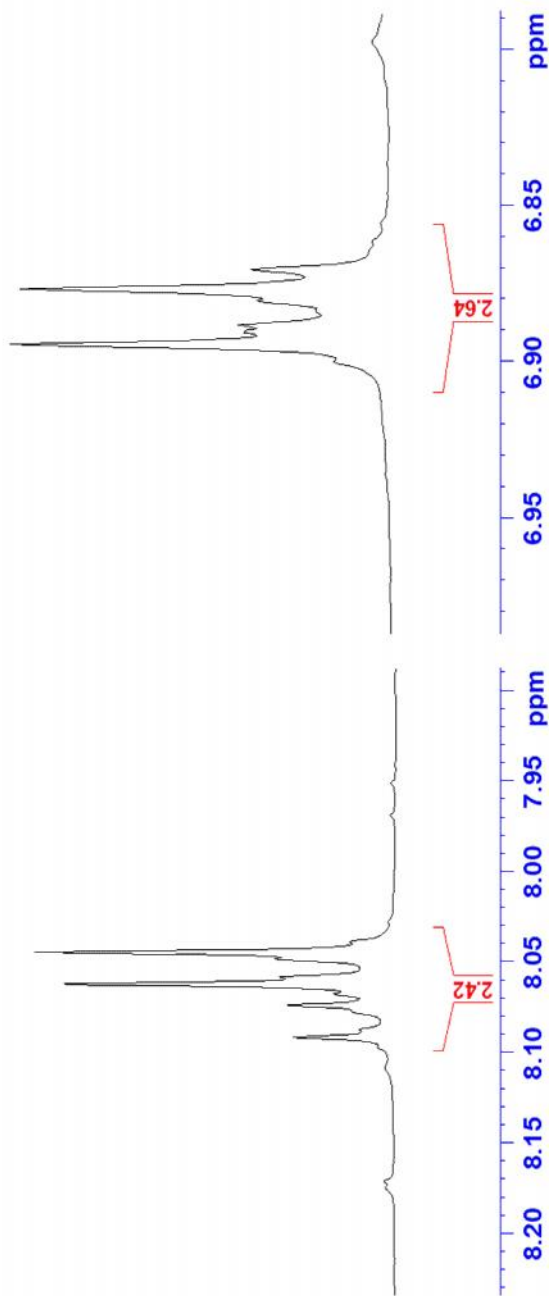
Espectro 54.- Espectro RMN-¹H del compuesto CfH-1 (Kaempferol-3-O-rutinosido)

UCV / M. Rodriguez / F55-58 CfHLC2 / MeOD / Protones

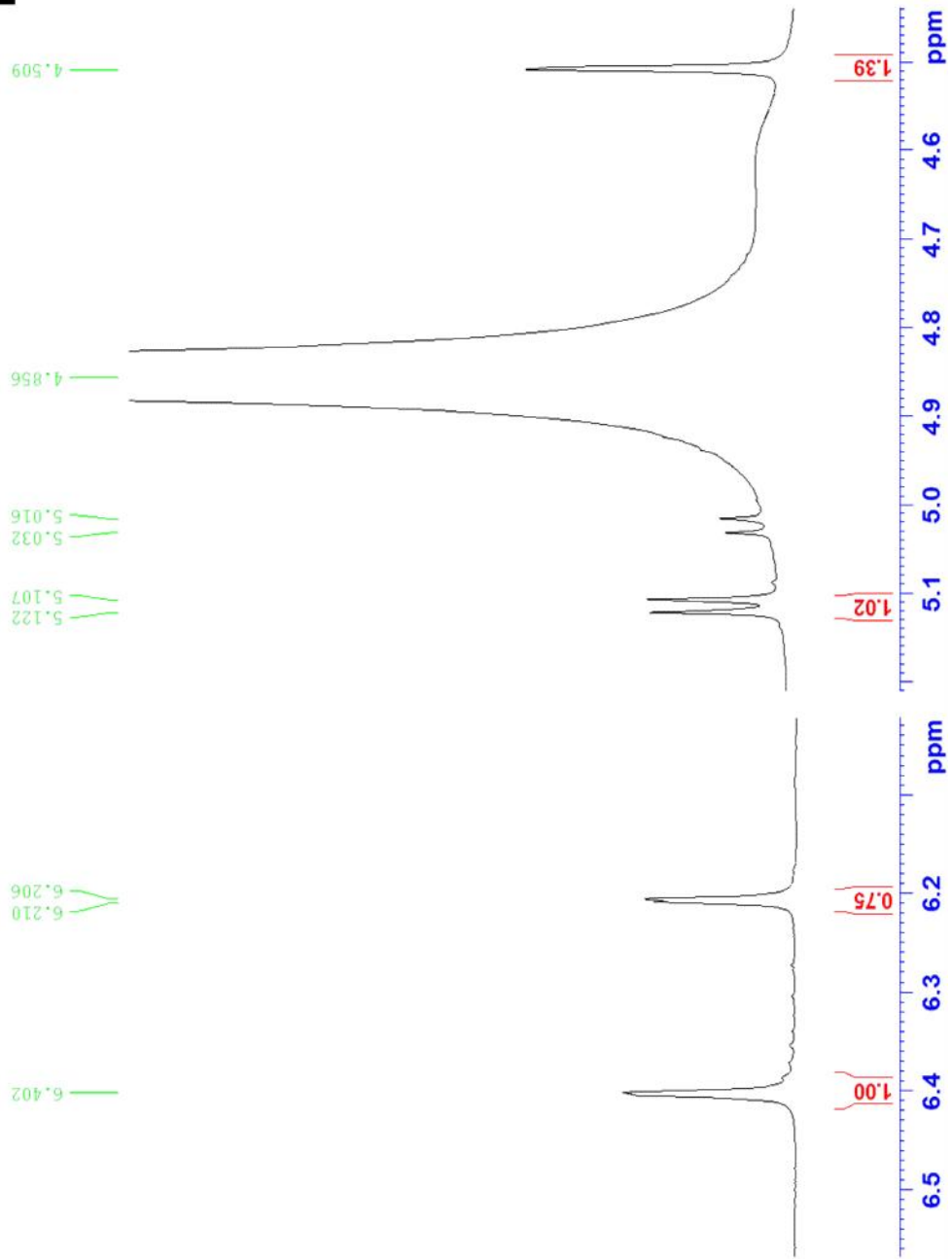


6.895
6.889
6.877
6.871

8.092
8.074
8.063
8.045

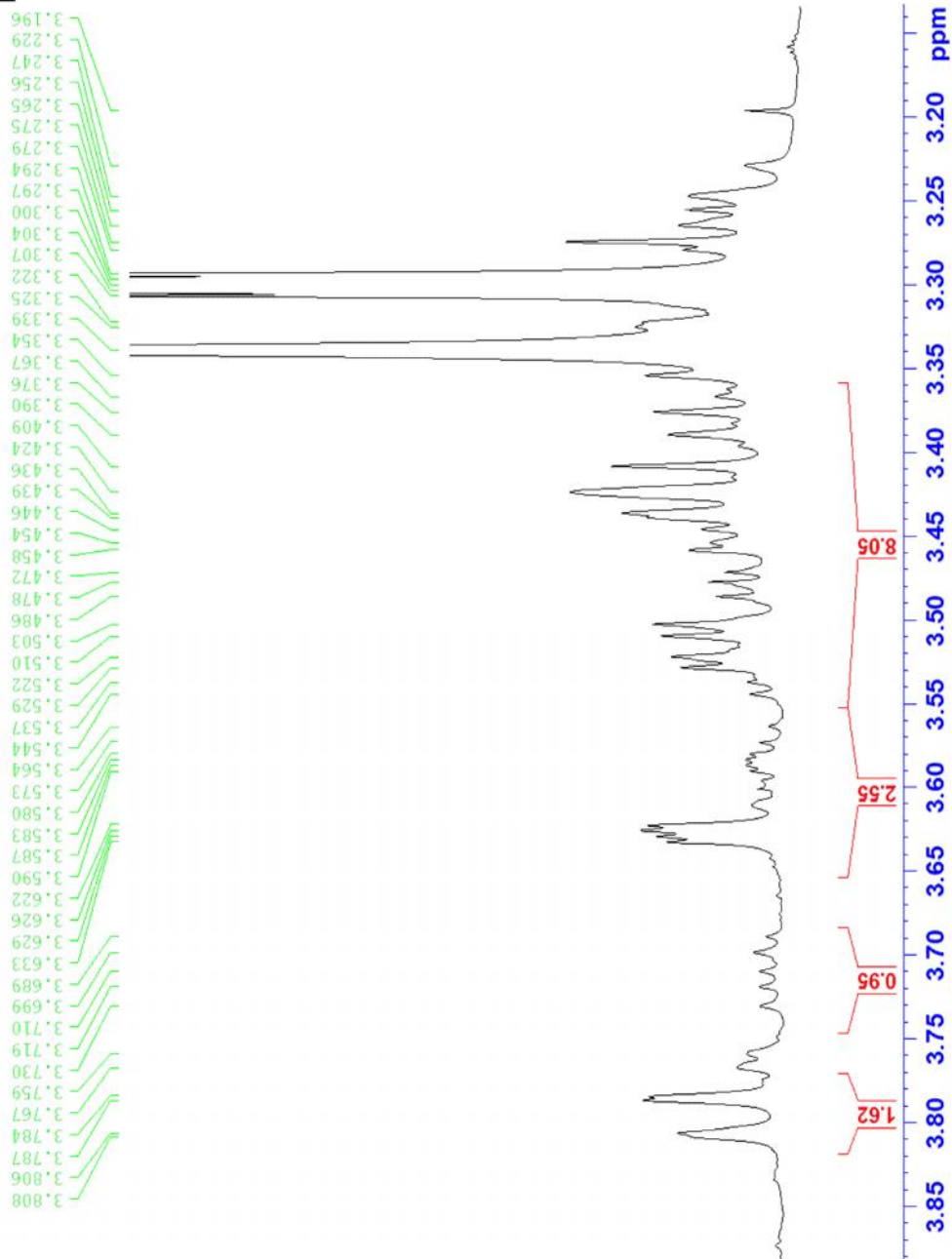
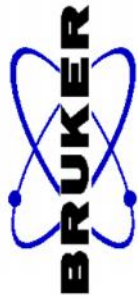


Espectro 55.- Ampliación entre 6,8-8,2 ppm del espectro RMN-¹H del compuesto CfH-1 (Kaempferol-3-O-rutinósido)



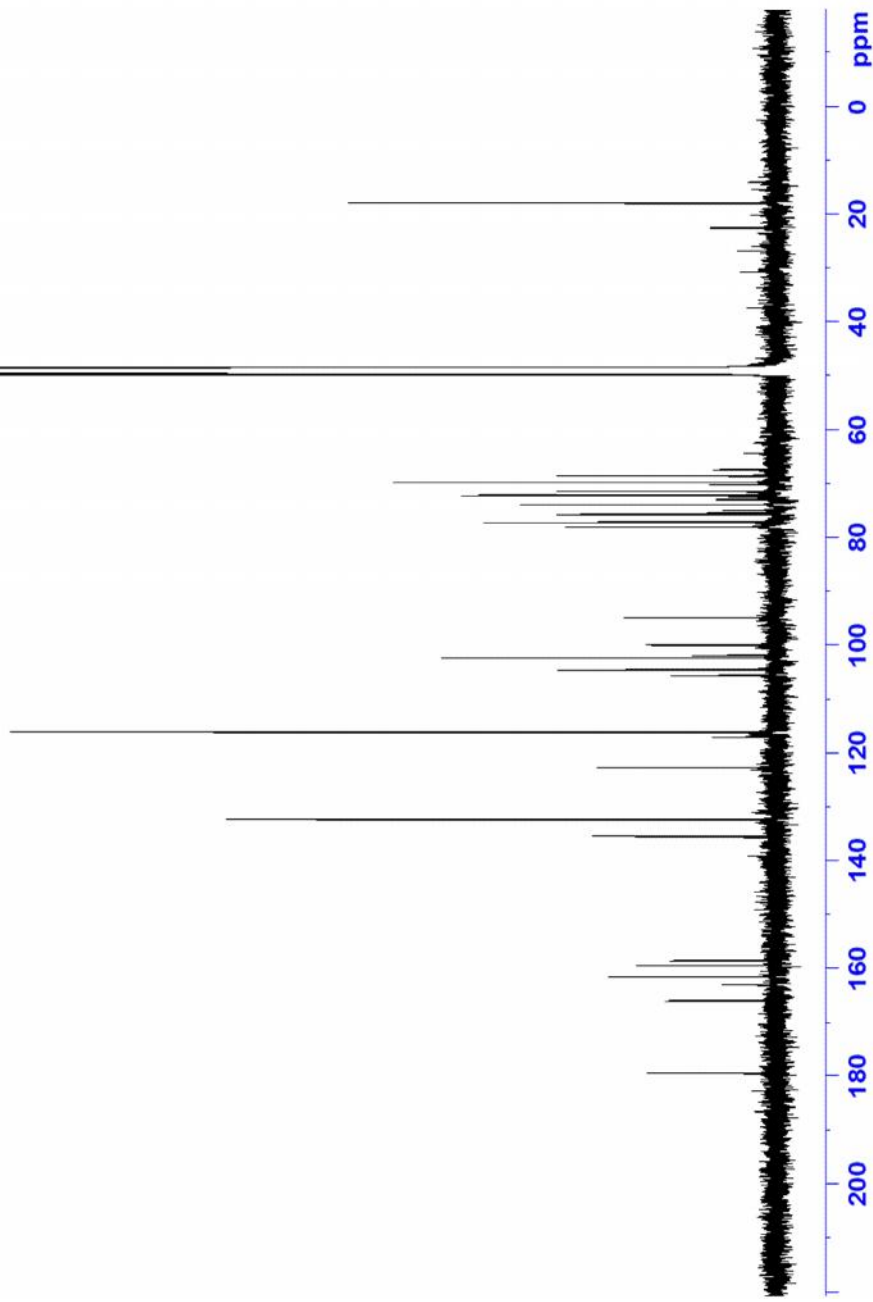
Espectro 56.- Ampliación entre 4,6-6,5 ppm del espectro RMN-¹H del compuesto Cfh-1 (Kaempferol-3-O-rutinósido)

UCV / M. Rodriguez / F55-58 C₆H₁₂O₆ / MeOD / Protones



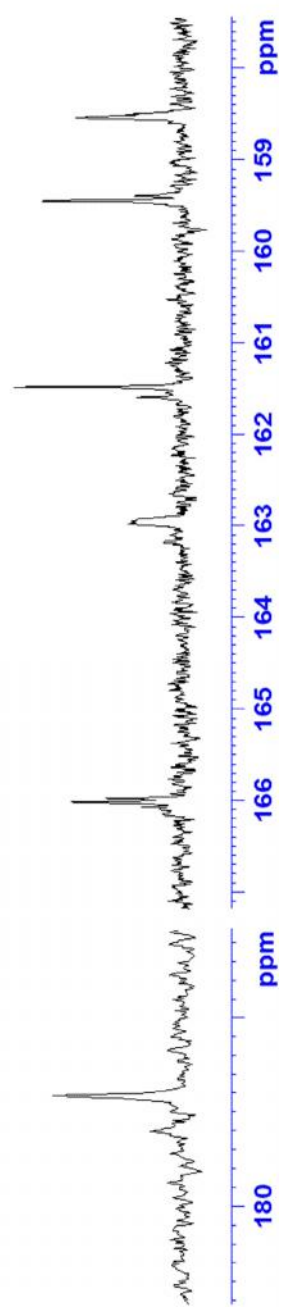
Espectro 57.- Ampliación entre 3,1-3,9 ppm del espectro RMN-¹H del compuesto C₆H-1 (Kaempferol-3-O-rutinósido)

179.62
179.42
166.02
165.98
162.94
162.90
162.94
162.92
161.59
161.48
159.45
159.39
158.55
158.50
158.50
135.70
135.50
132.46
132.37
122.75
122.63
117.07
116.15
105.67
105.61
105.52
104.58
102.41
101.90
99.99
94.94
78.13
77.20
75.75
75.37
75.04
73.89
72.96
72.30
72.07
71.45
70.14
69.73
68.57
67.42
49.51
49.34
49.29
49.17
49.00
48.83
48.66
48.49
37.35
30.78
26.83
22.52
17.96



Espectro 58.- Espectro RMN-¹³C del compuesto C₆H-1 (Kaempferol-3-O-rutinósido)

UCV / M. Rodriguez / F55-58 CFHLC2 / MeOD / Carbono



Espectro 59.- Ampliación entre 158-180 ppm del espectro RMN-¹³C del compuesto CfH-1 (Kaempferol-3-O-rutinósido)

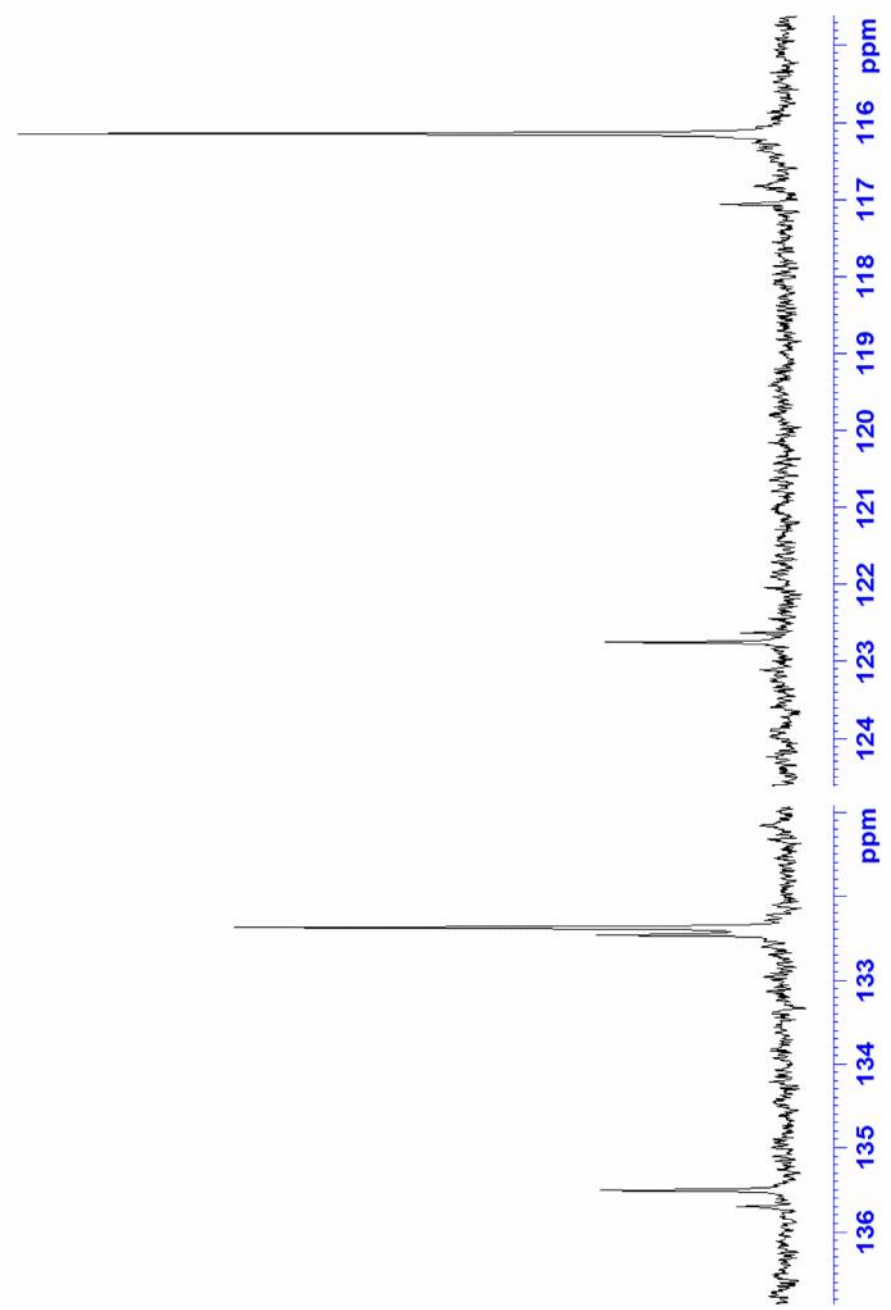
UCV / M. Rodriguez / F55-58 CfHLC2 / MeOD / Carbono

135.70
135.50

132.46
132.37

122.75
122.63

117.07
116.15



Espectro 60.- Ampliación entre 116-136 ppm del espectro RMN-¹³C del compuesto CfH-1 (Kaempferol-3-O-rutinósido)

UCV / M. Rodriguez / F55-58 CFHLC2 / MeOD / Carbono



94.94

99.99

101.90

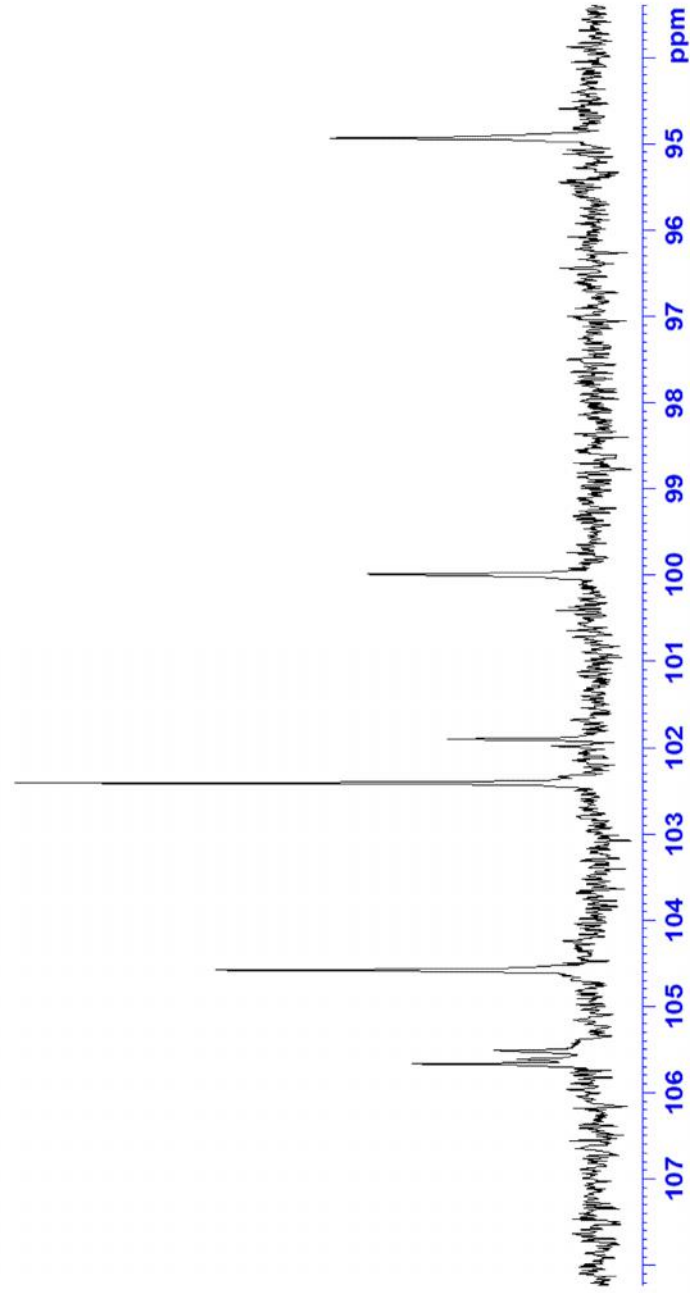
102.41

104.58

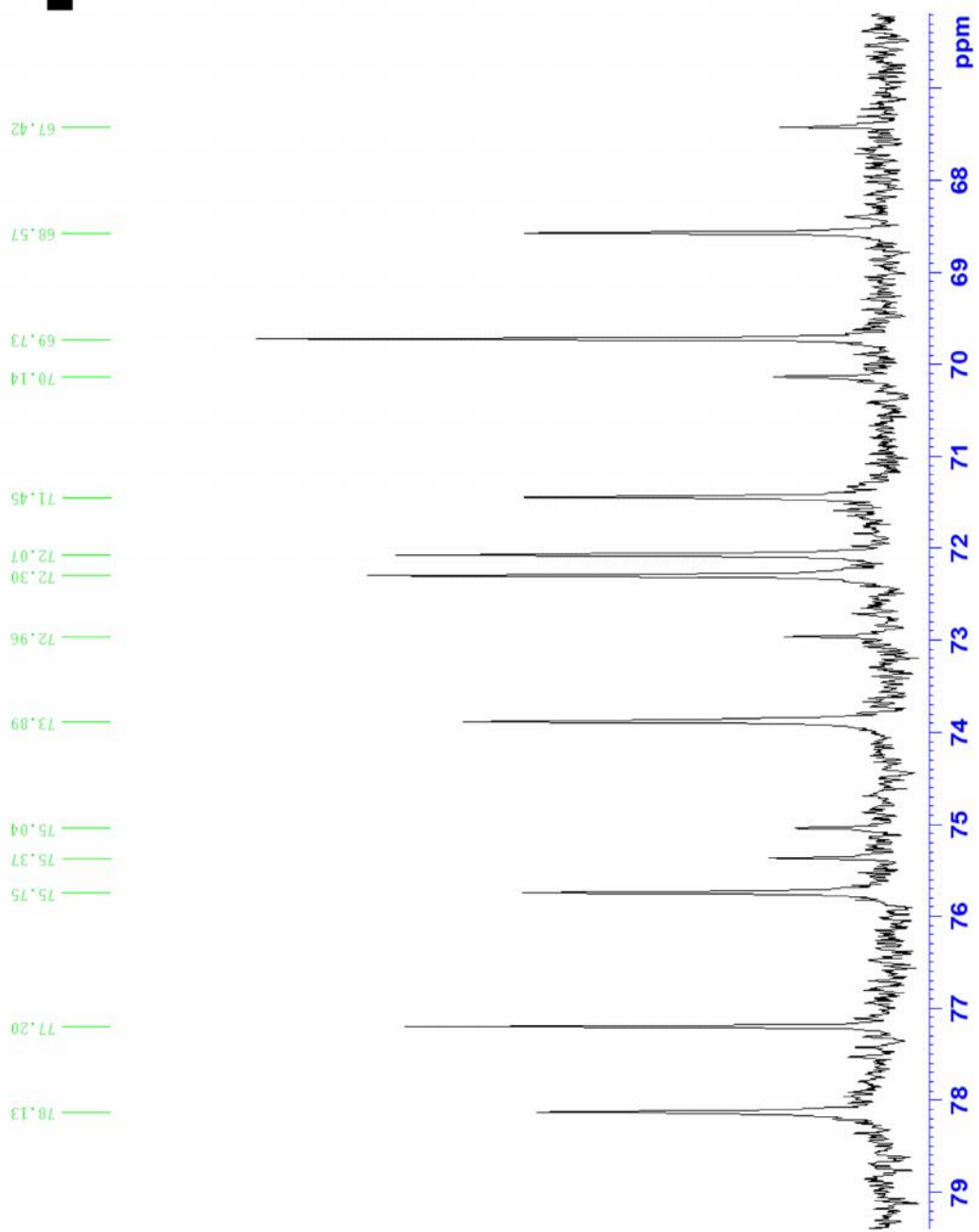
105.52

105.61

105.67

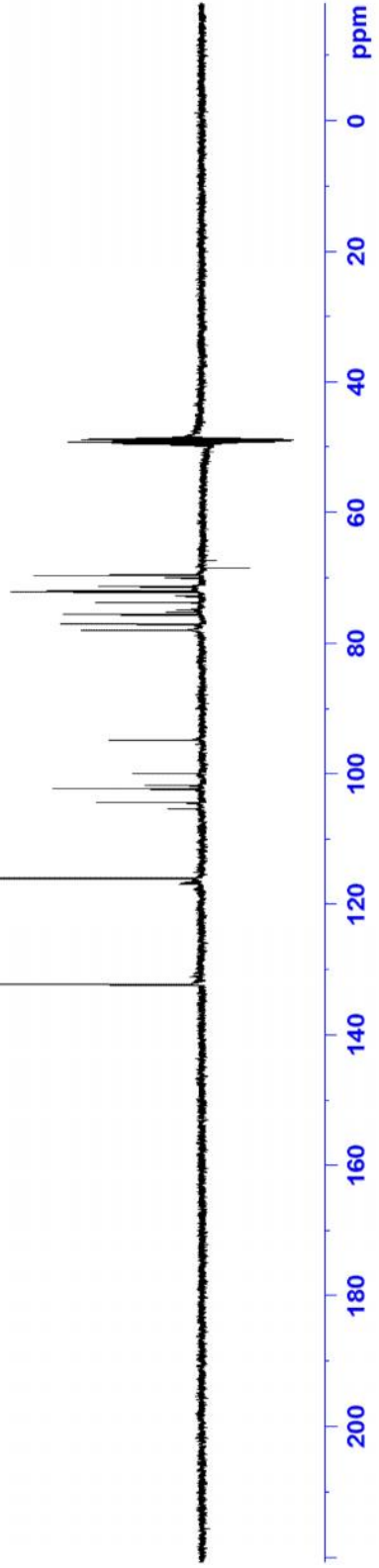


Espectro 61.- Ampliación entre 94-107 ppm del espectro RMN-¹³C del compuesto CfH-1 (Kaempferol-3-O-rutinósido)

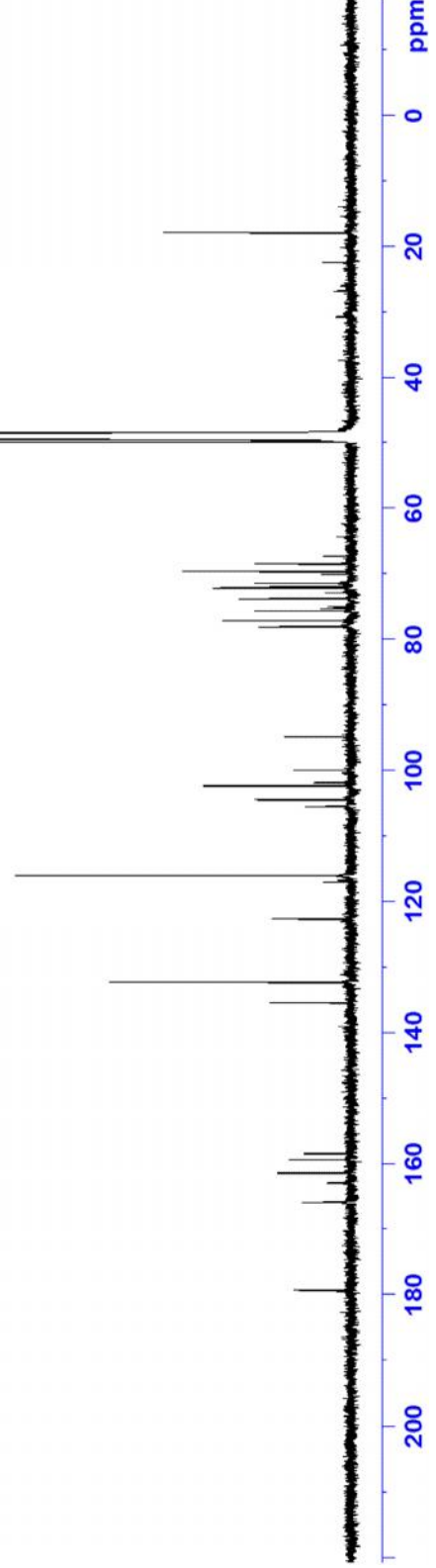


Espectro 62.- Ampliación entre 67-79 ppm del espectro RMN-¹³C del compuesto CfH-1 (Kaempferol-3-O-rutinósido)

UCV / M. Rodriguez / F55-58 CfHLC2 / MeOD / DEPT-135

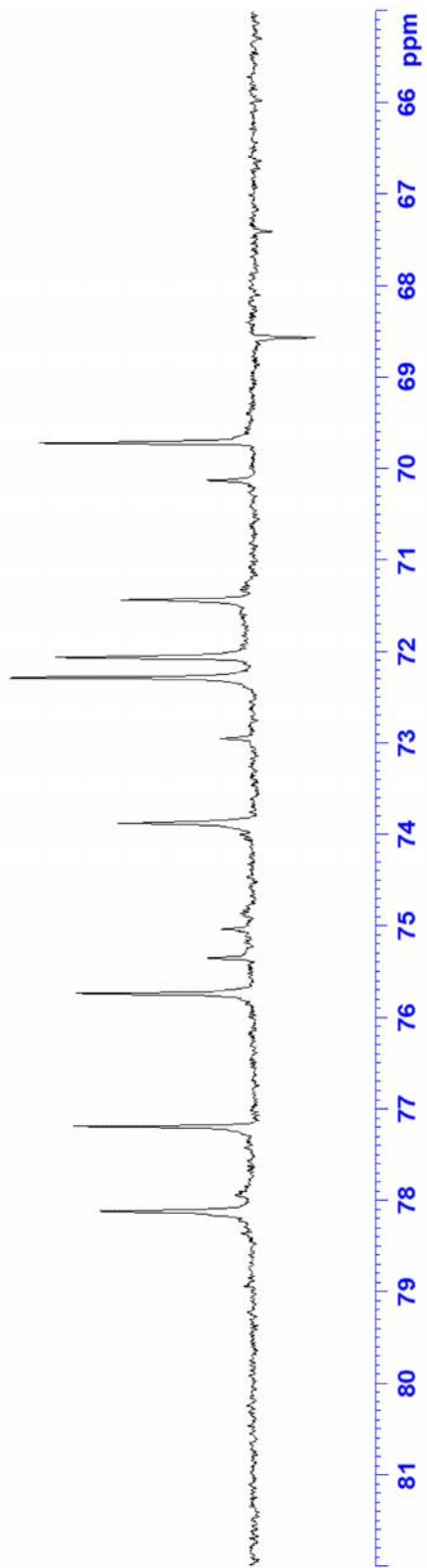


UCV / M. Rodriguez / F55-58 CfHLC2 / MeOD / Carbono

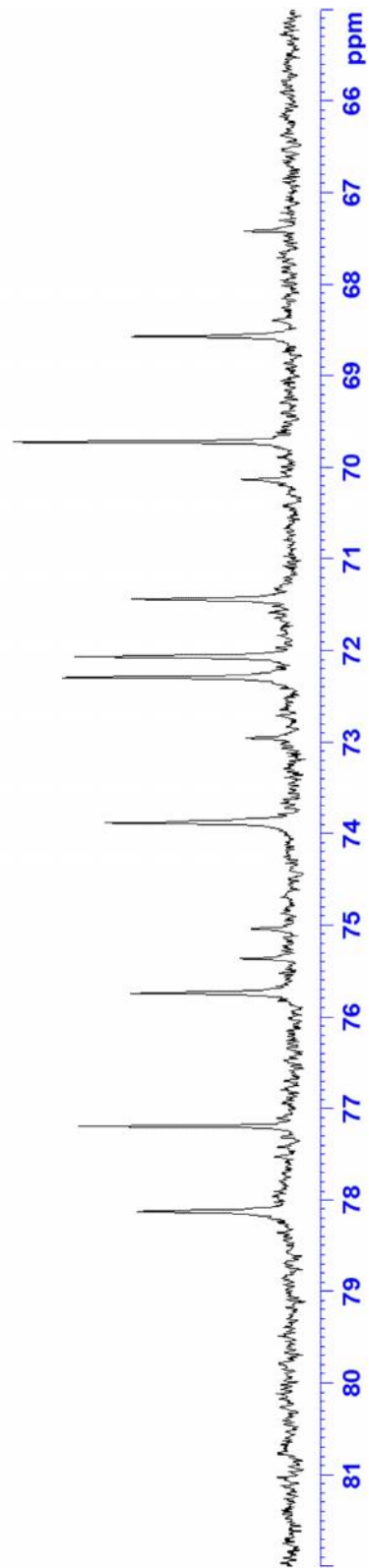


Espectro 63.- Espectro DEPT-135 del compuesto CfH-1 (Kaempferol-3-O-rutinósido)

UCV / M. Rodriguez / F55-58 CfHLC2 / MeOD / DEPT-135

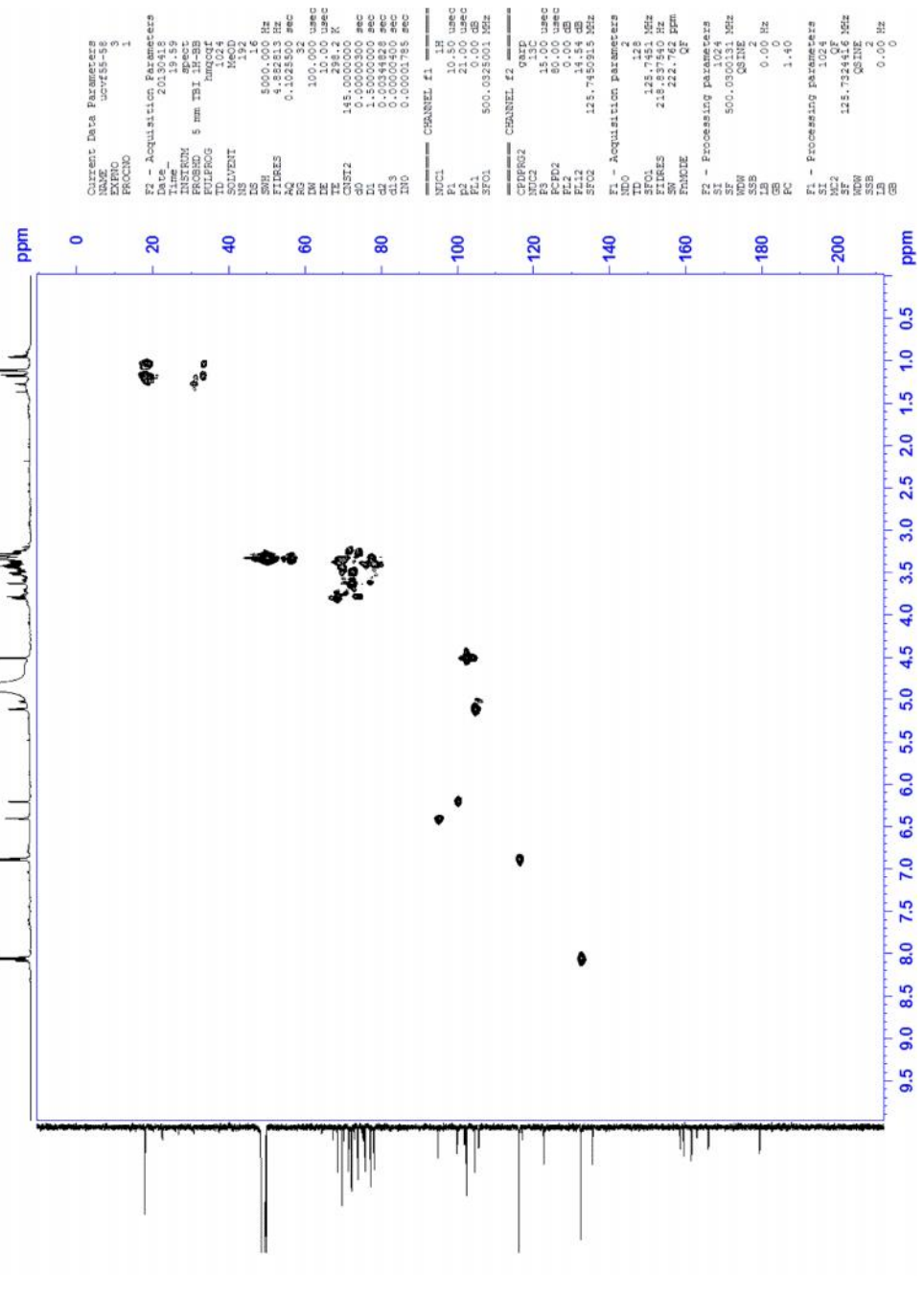


UCV / M. Rodriguez / F55-58 CfHLC2 / MeOD / Carbono

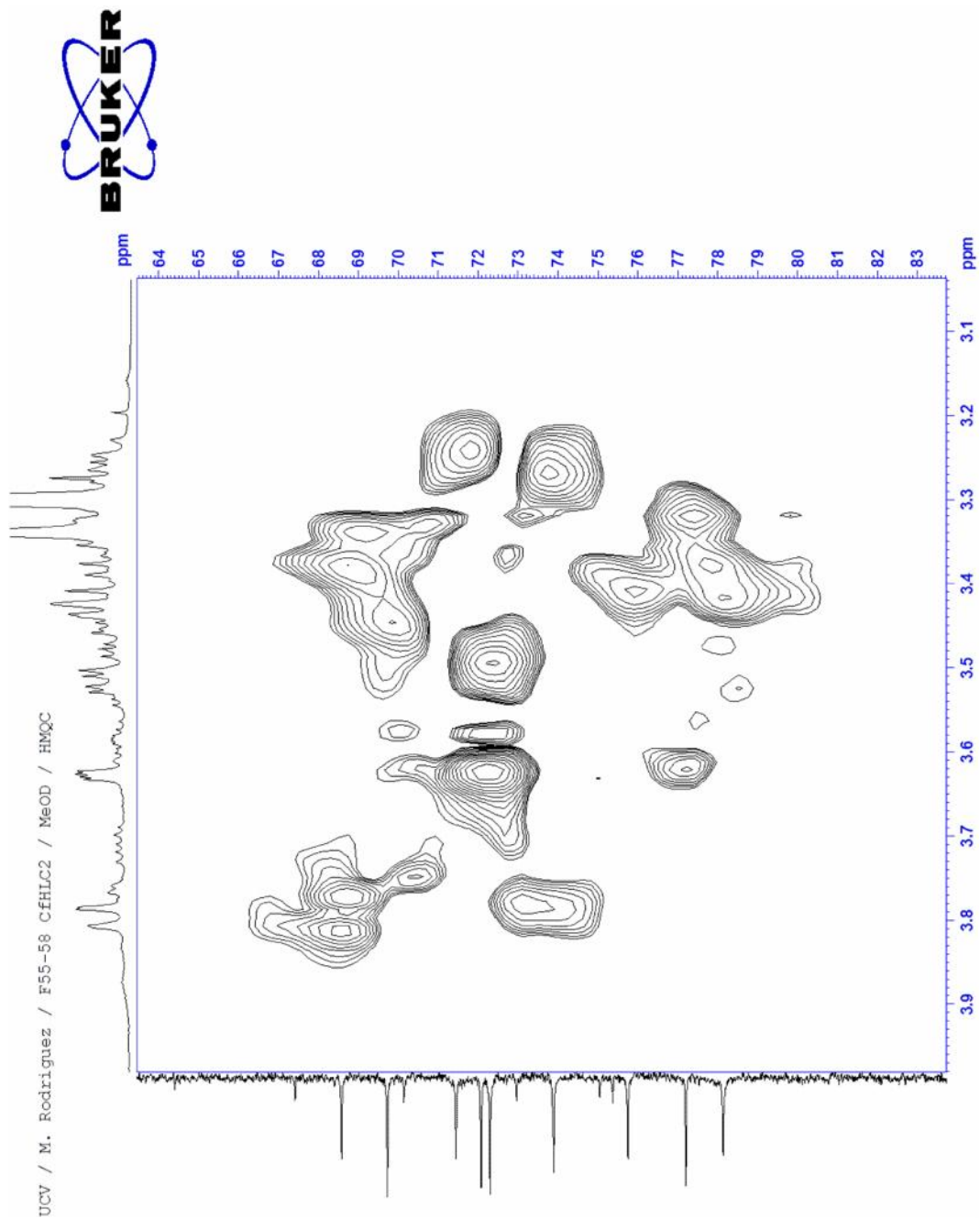


Espectro 64.- Ampliación entre 66-81 ppm del espectro DEPT-135 del compuesto CfH-1 (Kaempferol-3-O-rutinósido)

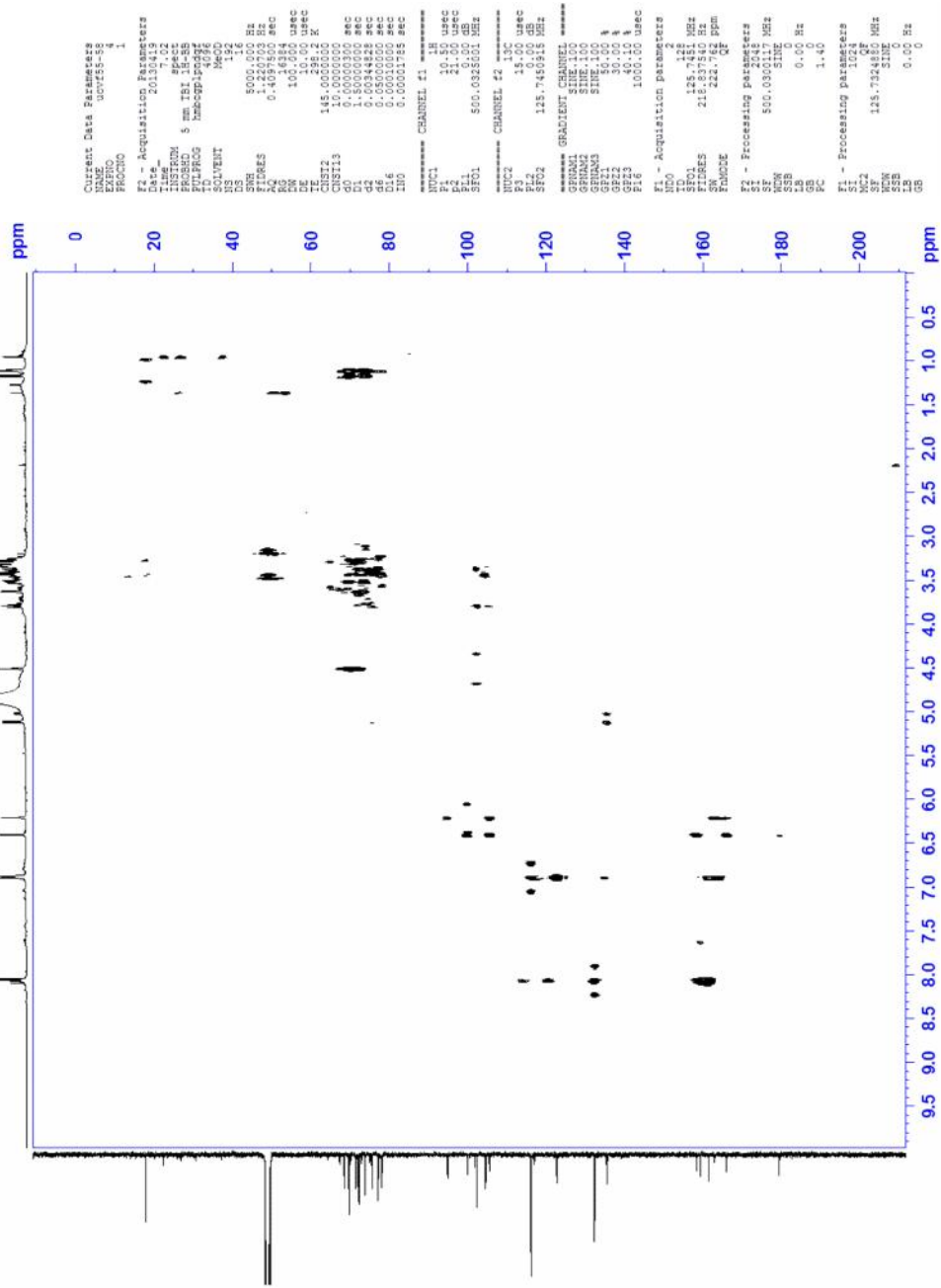
UCV / M. Rodriguez / F55-58 CfHLC2 / MeOD / HMQC



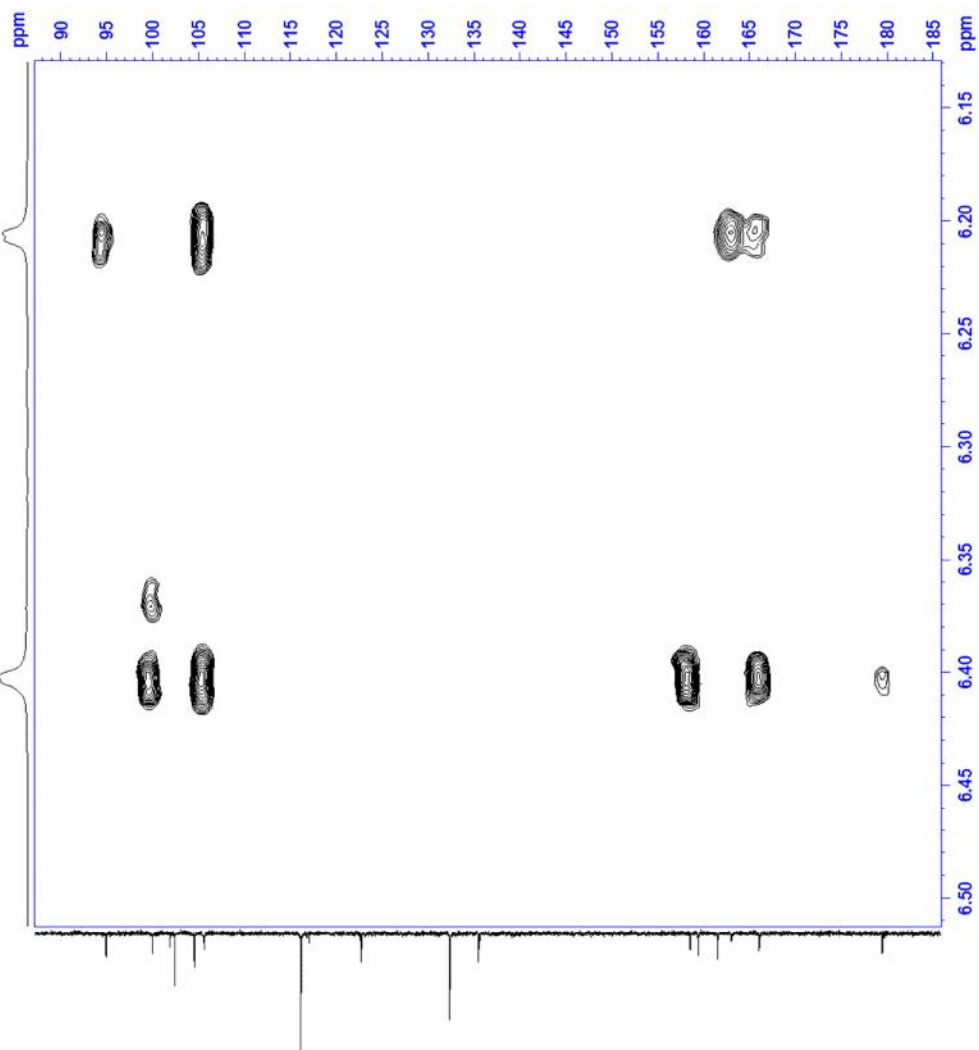
Espectro 65. Espectro HMQC del compuesto CfH-1 (Kaempferol-3-O-rutinósido).



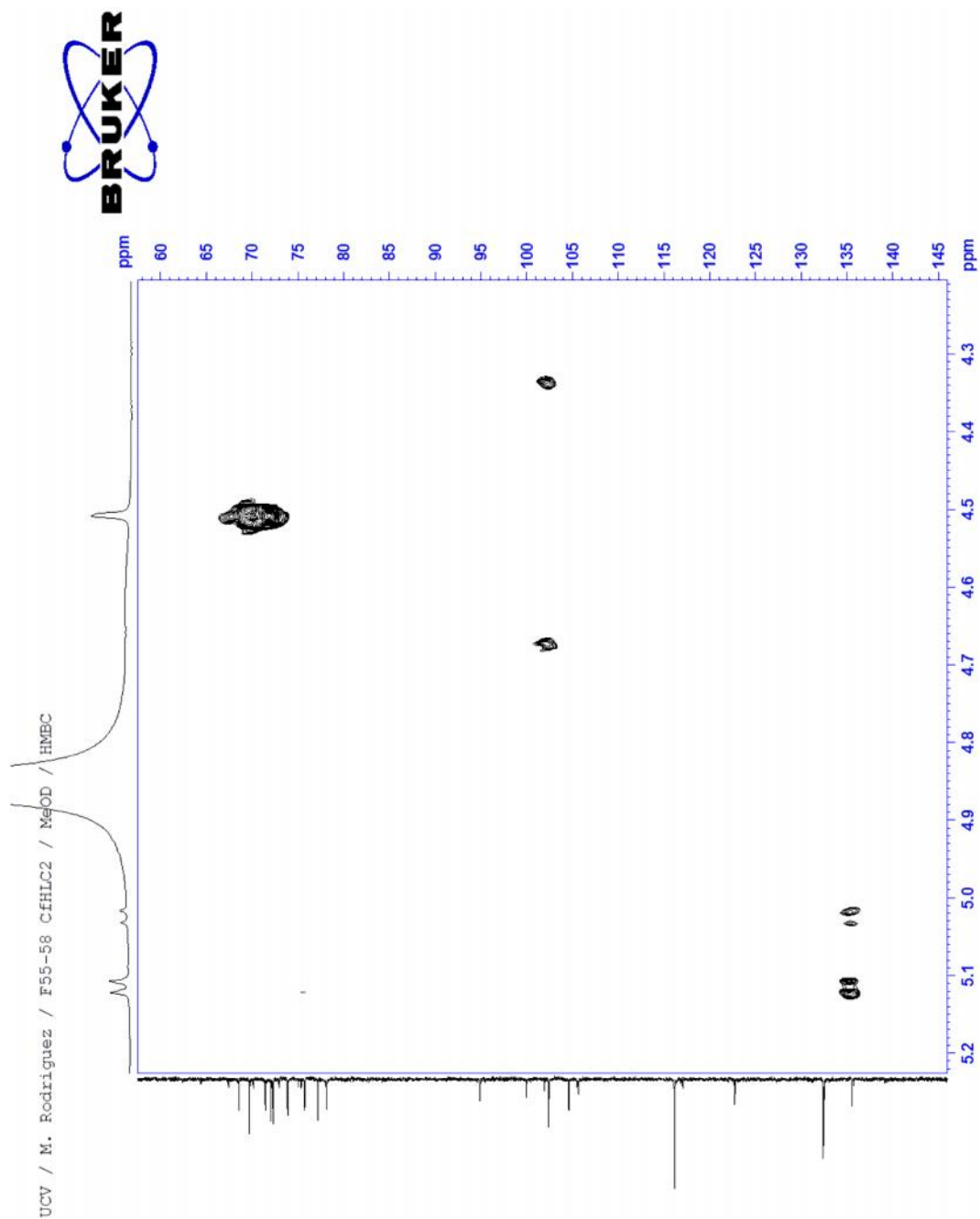
Espectro 66. Ampliación entre 3,1 y 3,9 ppm en F2 del espectro HMQC del compuesto C₆H₁₂O₆ (Kaempferol-3-O-rutinósido).



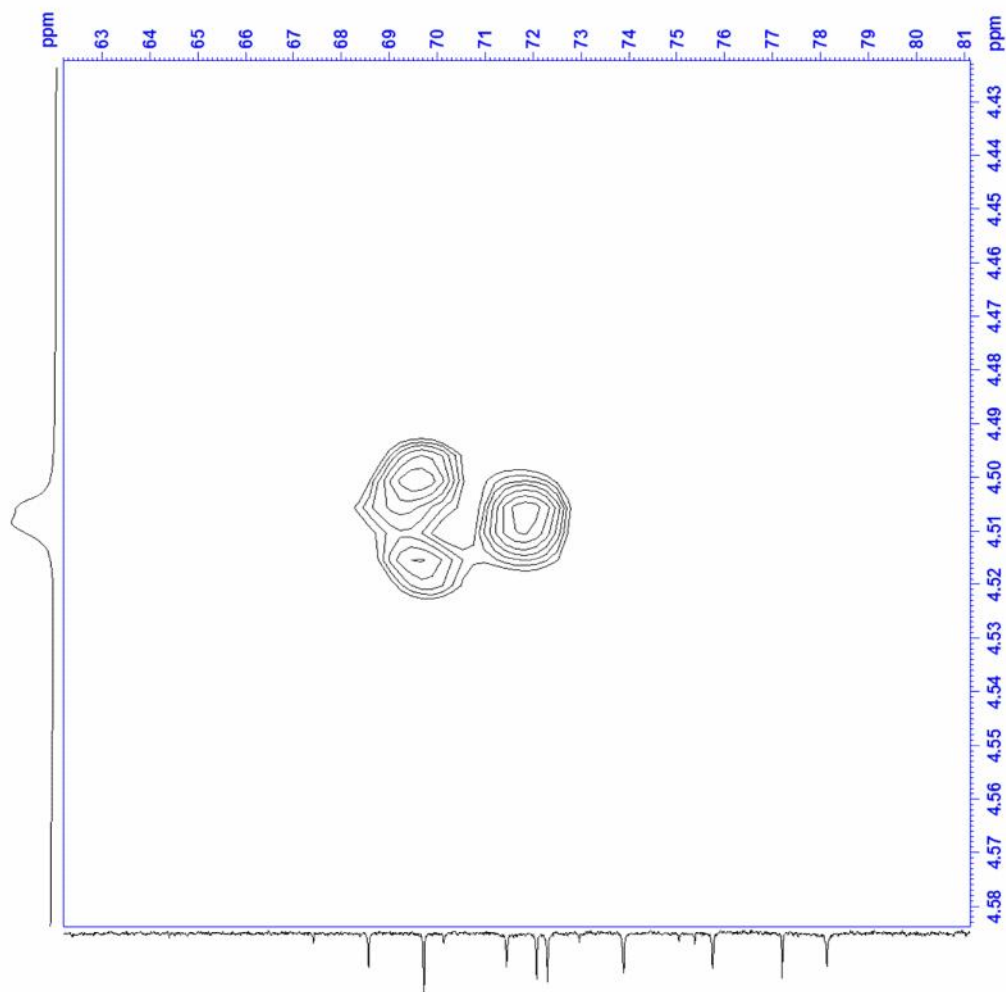
Espectro 67. Espectro HMBC del compuesto CfH-1 (Kaempferol-3-O-rutinosido).



Espectro 68. Ampliación entre 6,1-6,5 ppm en F2 del espectro HMBC del compuesto CfH-1 (Kaempferol-3-O-rutinósido).

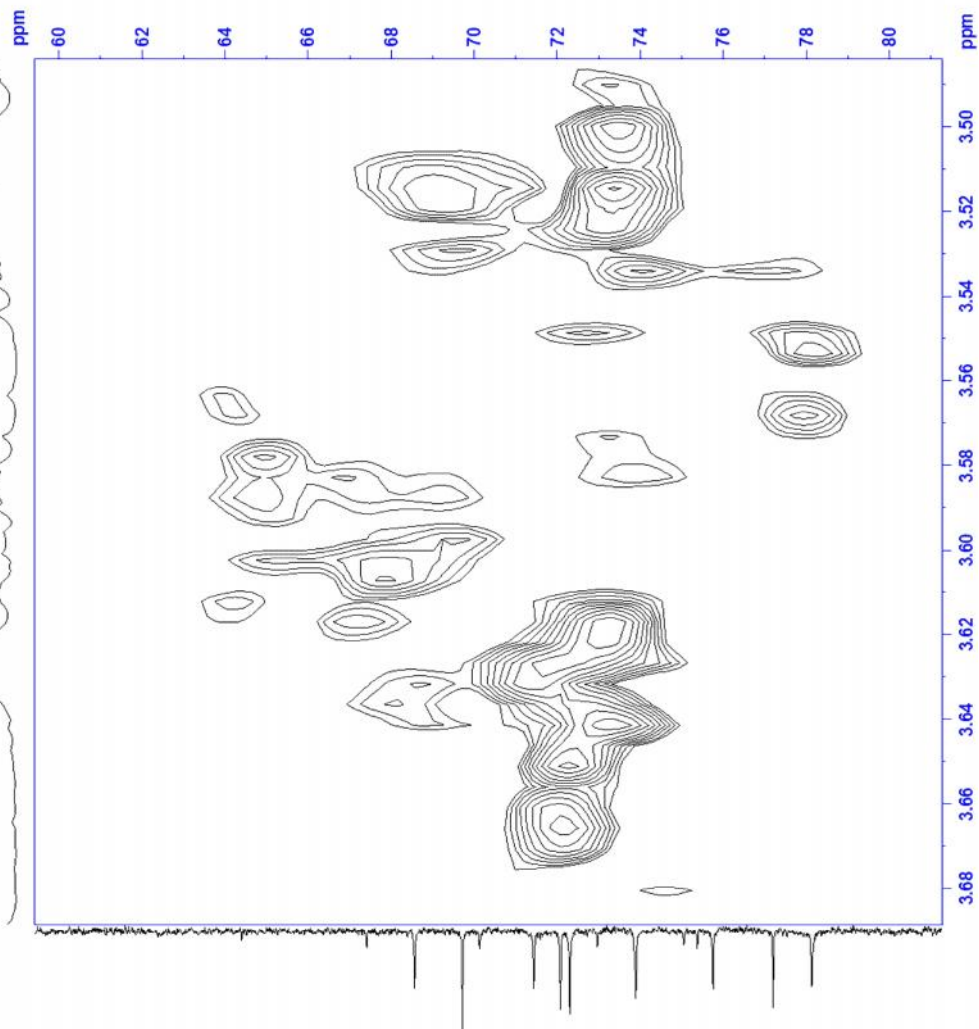


Espectro 69. Ampliación entre 4,0-5,2 ppm en F2 del espectro HMBC del compuesto C₁H-1 (Kaempferol-3-O-rutinosido).

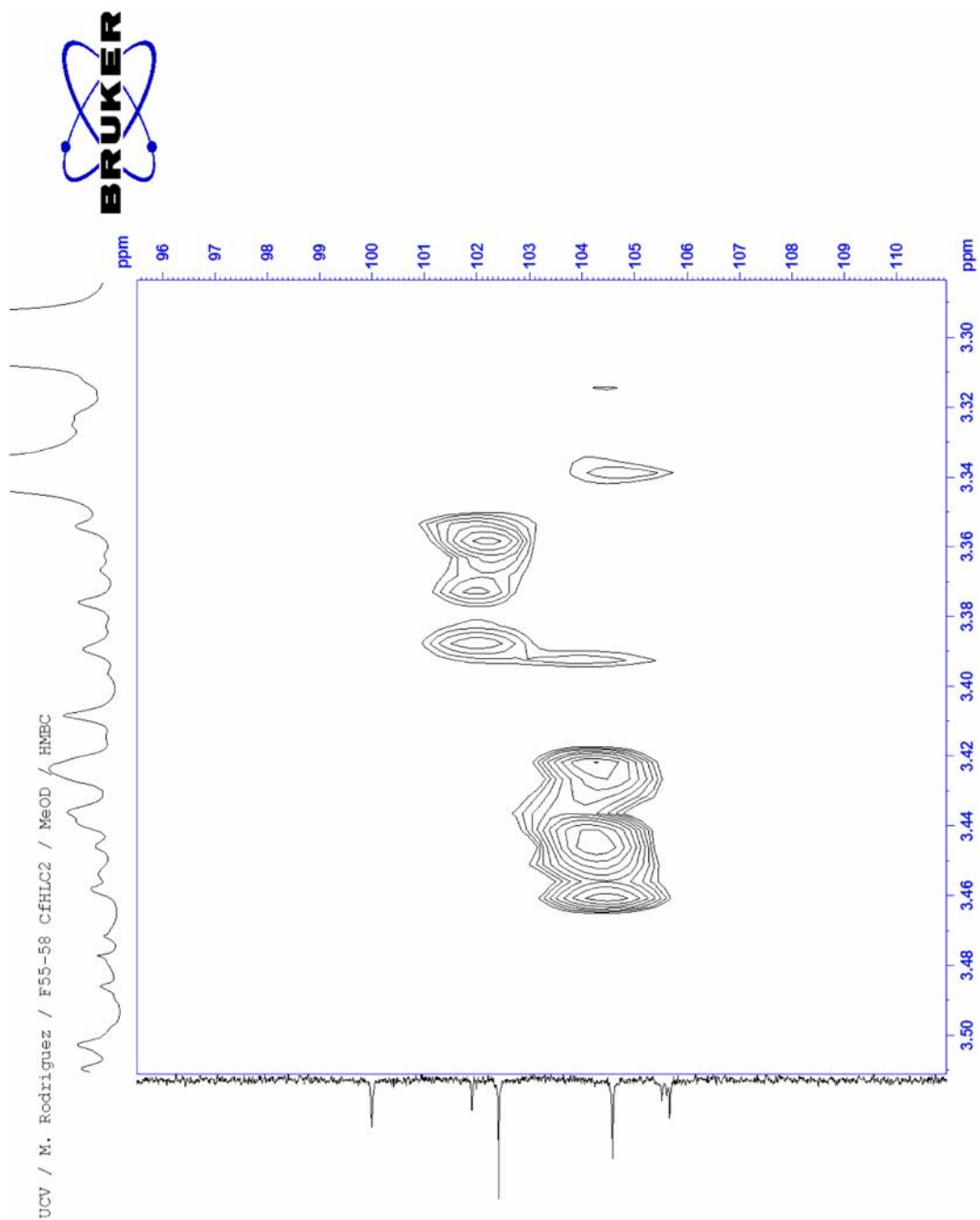


Espectro 70. Ampliación entre 4,4-4,6 ppm en F2 del espectro HMBC del compuesto C₆H₁₀O₂ (Kaempferol-3-O-rutinósido).

UCV / M. Rodriguez / F55-58 C4HLC2 / MeOD / HMB

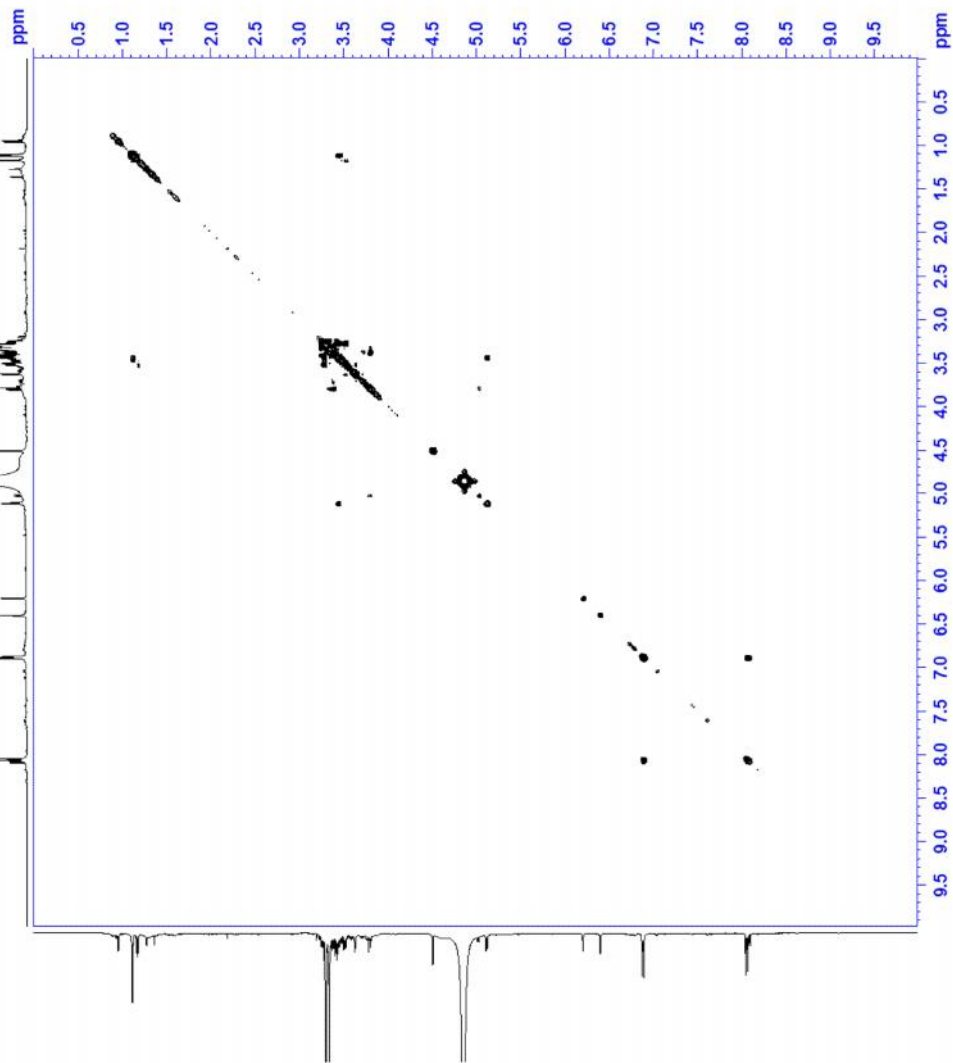


Espectro 71.- Ampliación entre 3,3-3,5 ppm en F2 del espectro HMB del compuesto C₁H-1 (Kaempferol-3-O-rutinósido).



Espectro 72.- Ampliación entre 3,3-3,5 ppm en F2 del espectro HMB del compuesto CfH-1 (Kaempferol-3-O-rutinósido).

UCV / M. Rodriguez / F55-58 C6HLC2 / MeOD / COSY



```
Current Data Parameters
NAME      ucv55-58
EXPNO    2
PROCNO   1

F2 - Acquisition Parameters
Date_     201608
Time     16.02
INSTRUM spect
PROBHD   5 mm TBI 1H-BB
PULPROG zgpg30
AQ       0.00000000 sec
RG       64
SOLVENT  MeOD
NS       64
DS       4
SWH      8000.16 Hz
FIDRES   0.244100 Hz
AQRES    0.204500 sec
RG2      64
DR       100.000 usec
DE       10.00 usec
TE       300.2 K
AQ       0.00000000 sec
D1       1.4866198 sec
d13      0.00000000 sec
DL6      0.00010000 sec
IN0      0.00020000 sec

===== CHANNEL f1 =====
NUC1     1H
P0       10.00 usec
PC       0.00 usec
PL       0.00 dB
SFO1     500.0325001 MHz

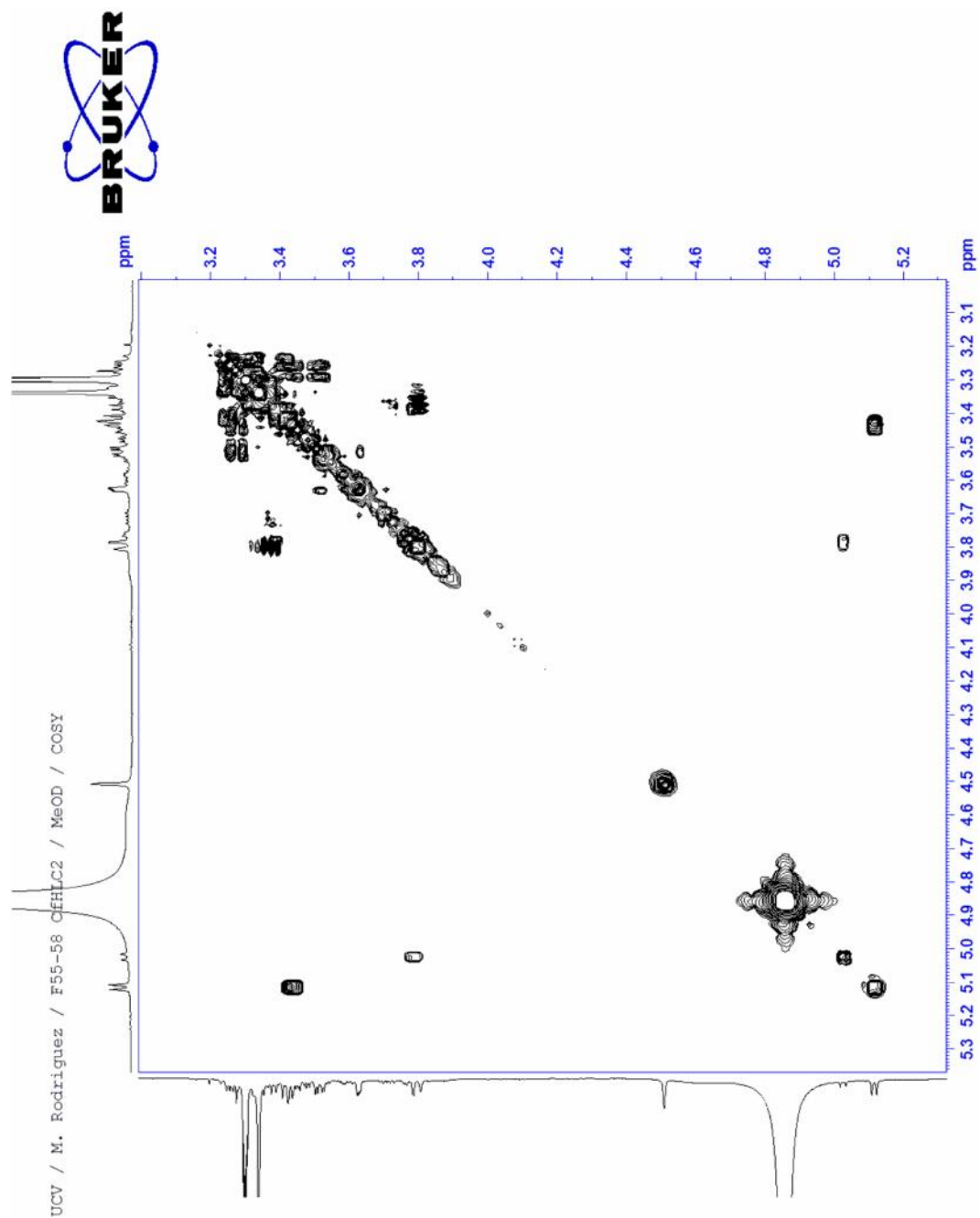
===== CHANNEL =====
GPMAM1   SINE,100
P1A      0.00 usec
P1B      100.00 usec

F1 - Acquisition Parameters
NUC0     1H
SFO1     500.0325 MHz
FIDRES   0.244100 Hz
SFR      39.062500 MHz
SWH      9.959 PPM
FNUC0    CF

F2 - Processing parameters
SI       1024
SF       500.0300107 MHz
SINE
PCW      0.00 Hz
SSB      0.00 Hz
GB       0
PC       1.00

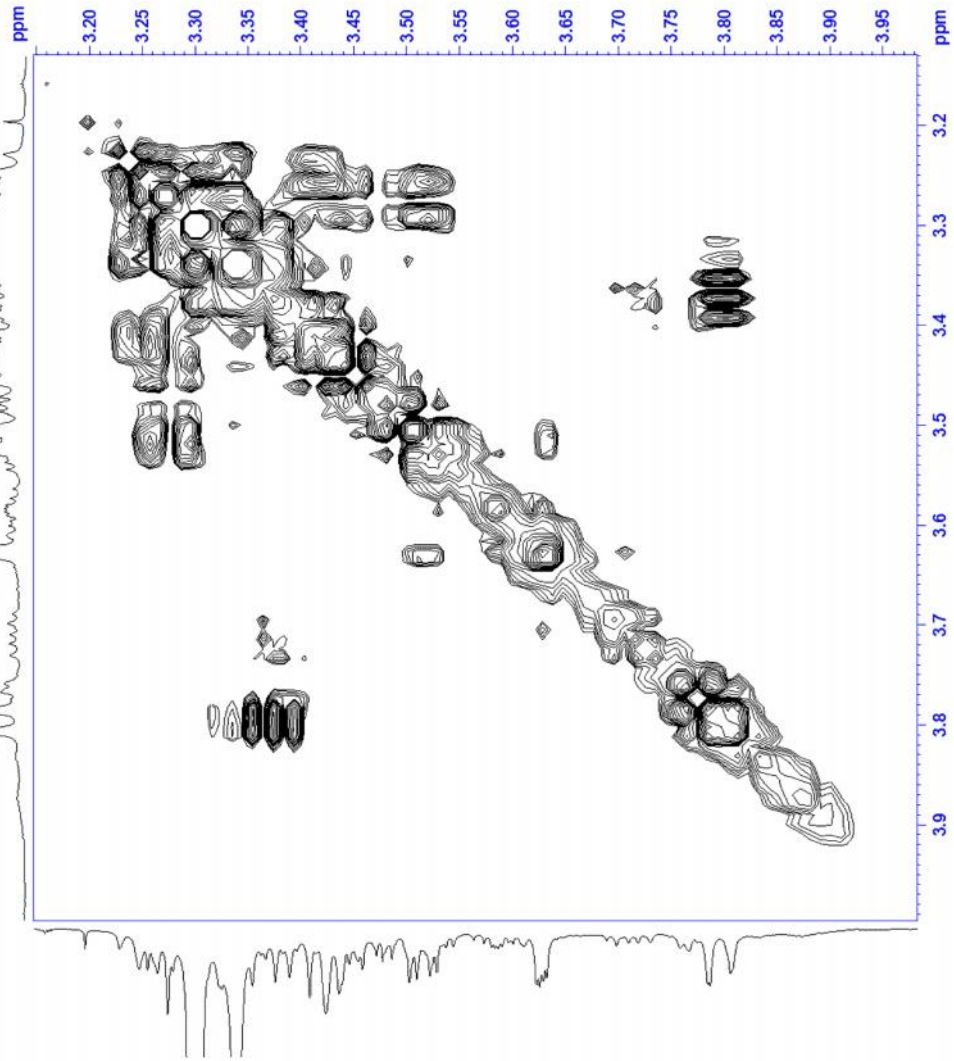
F1 - Processing parameters
SI       1024
SF       500.0300099 MHz
SINE
PCW      0.00 Hz
SSB      0.00 Hz
GB       0
```

Espectro 73. Espectro COSY del compuesto C6H-1 (Kaempferol-3-O-rutinosido).



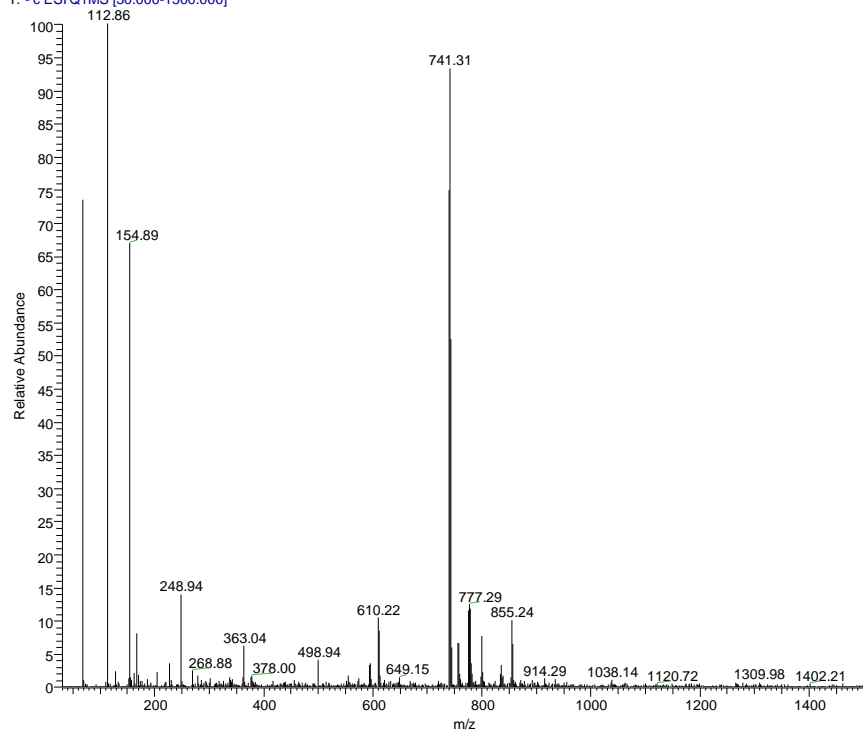
Espectro 74. Ampliación entre 3,1-3,5ppm del espectro COSY del compuesto C₆H₁₂O₆ (Kaempferol-3-O-rutinósido).

UCV / M. Rodriguez / F55-58 C₆H₁₂O₆ / MeOD / COSY



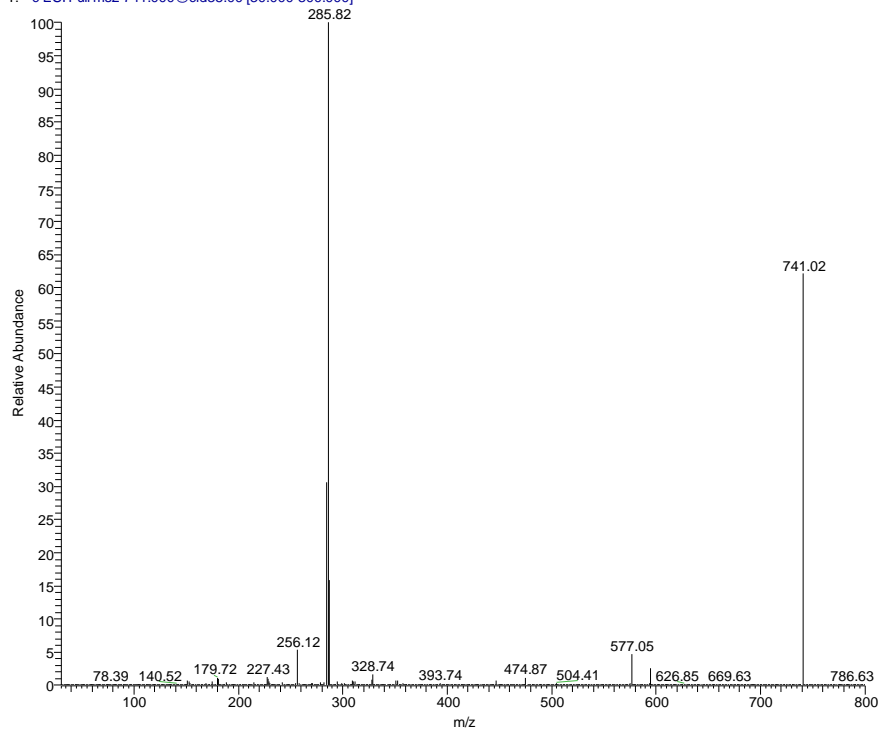
Espectro 75. Ampliación entre 3,2-3,9 ppm del espectro COSY del compuesto C₆H₁₂O₆ (Kaempferol-3-O-rutinósido).

Reine5 #243 RT: 5.20 AV: 1 NL: 1.92E6
T: - c ESI Q1MS [30.000-1500.000]



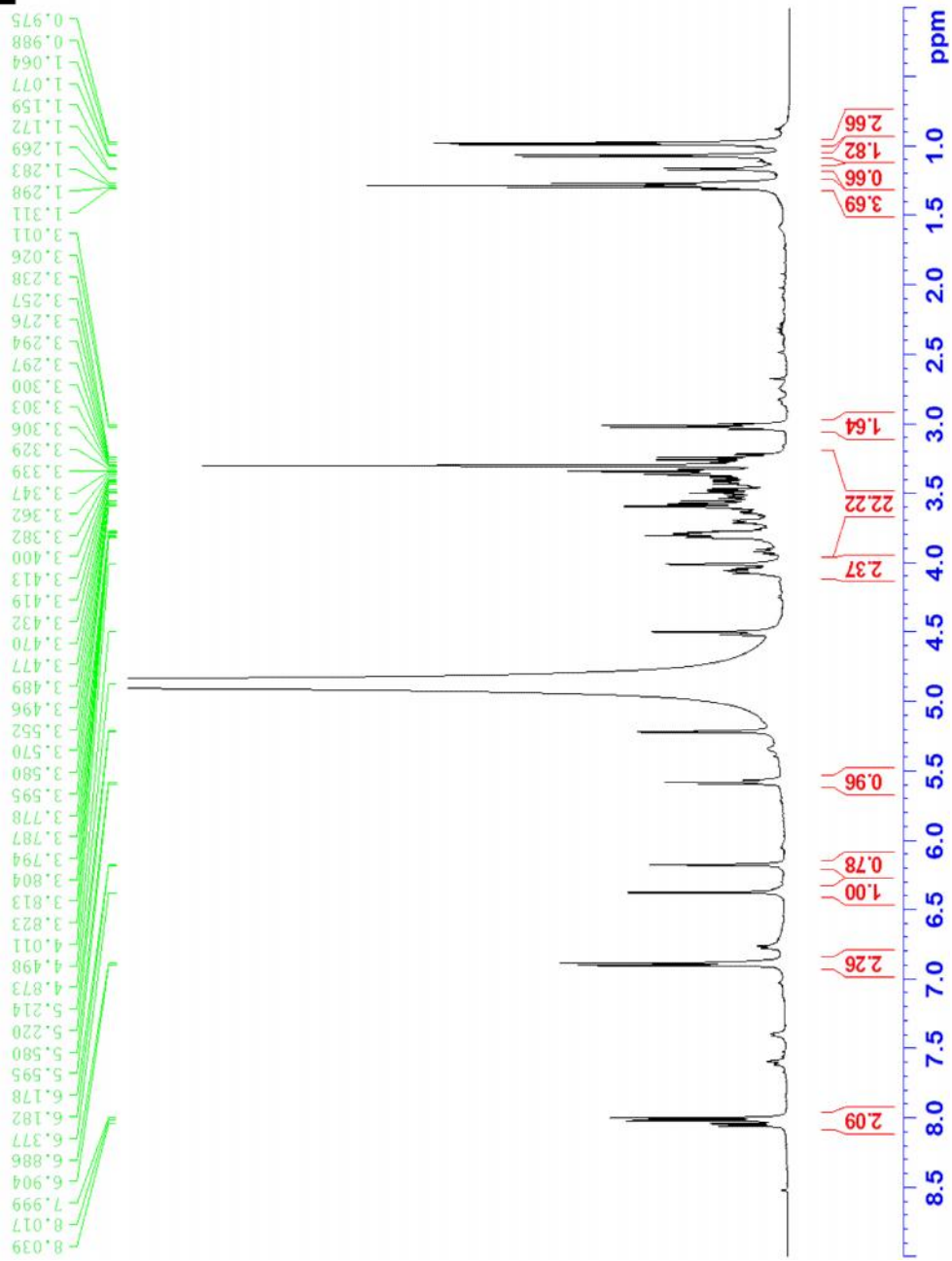
Espectro 76 . EM del compuesto CfH-2 (Kaempferol-3-O-(2''-ramnosil)-rutinósido).

Reine5 #336 RT: 6.16 AV: 1 NL: 2.92E6
T: - c ESI Full ms2 741.000@cid35.00 [30.000-800.000]



Espectro 77. EM-EM del ión 741 uma del compuesto CfH-2 (Kaempferol-3-O-(2''-ramnosil)-rutinósido).

UCV / M. Rodriguez / CfHL-f72 / MeOD / Protones



Espectro 78.- Espectro RMN-¹H del compuesto CfH-2 (Kaempferol-3-O-(2''-ramnosil)rutinósido)



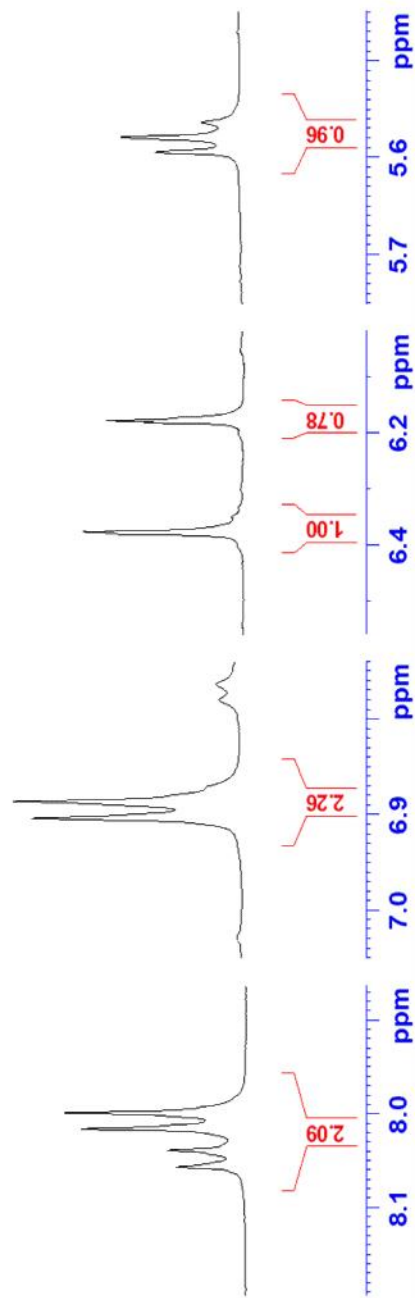
5.595
5.580
5.564

6.178
6.182

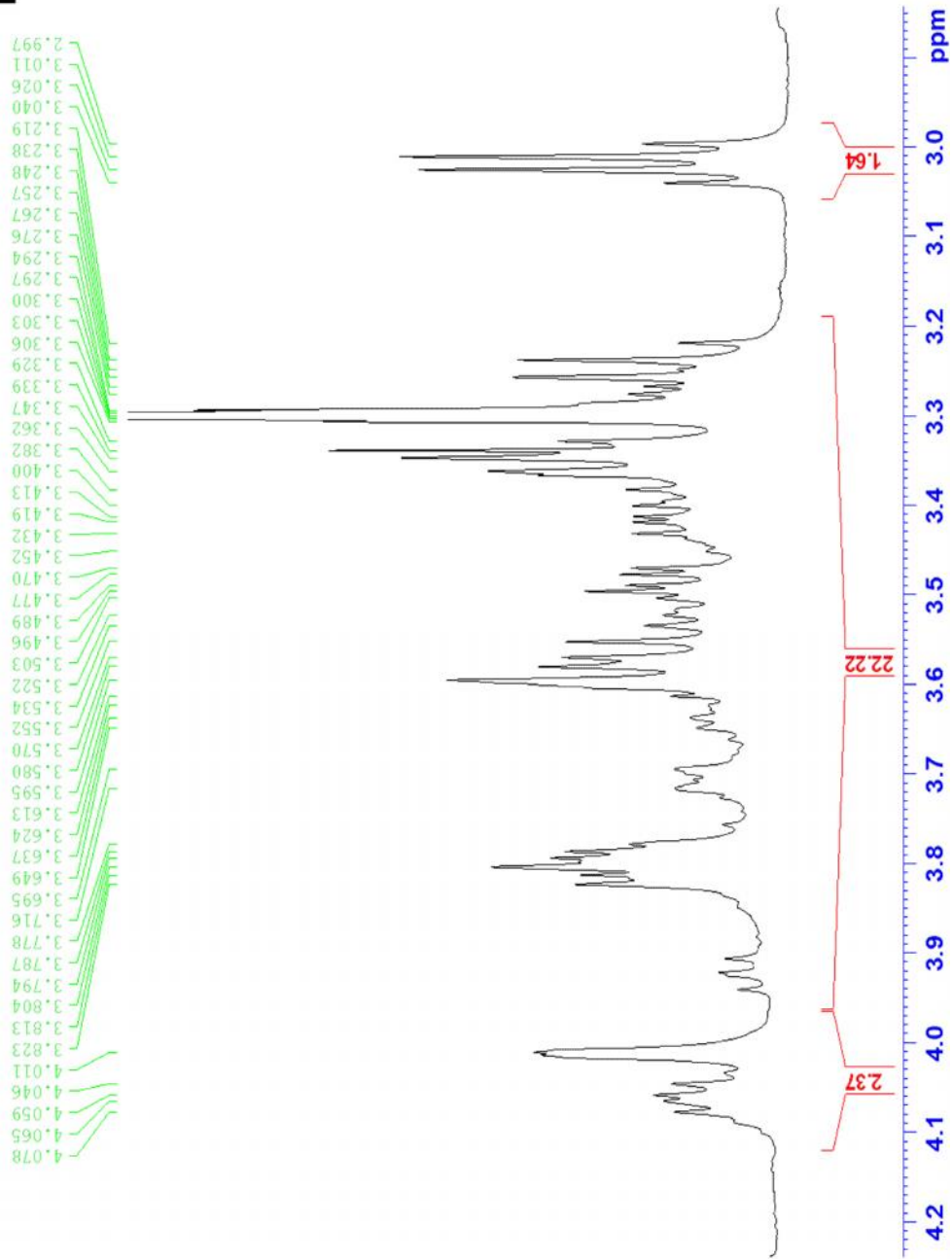
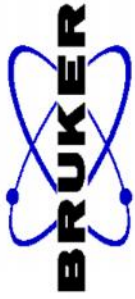
6.377

6.904
6.886

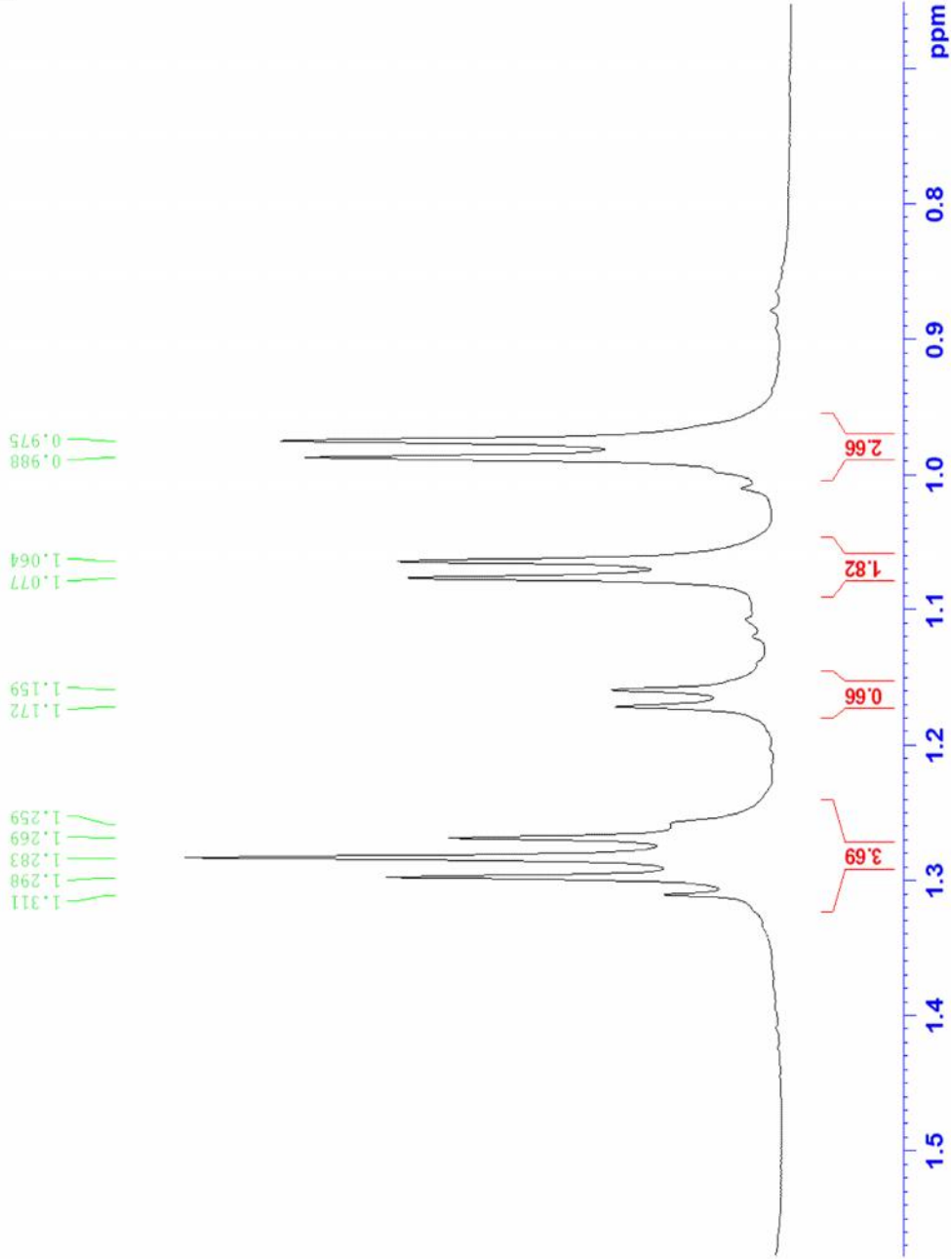
8.057
8.039
8.017
7.999



Espectro 79- Ampliación entre 5,5-8,2 ppm del espectro RMN-¹H del compuesto CfH-2 (Kaempferol-3-O-(2''-ramnosil)rutinósido)



Espectro 80.- Ampliación entre 2,9-4,2 ppm del espectro RMN¹-H del compuesto CfH-2 (Kaempferol-3-O-(2''-ramnosil)rutinosido)



Espectro 81.- Ampliación entre 0,8-1,5 ppm del espectro RMN-¹H del compuesto CfH-2 (Kaempferol-3-O-(2''-ramnosil)rutinosido)